

Uma introdução à estimativa não-paramétrica da densidade

Carlos Tenreiro

CMUC, Departamento de Matemática, Universidade de Coimbra

- ▷ Estimação funcional
- Estimação NP da densidade
- Abordagens paramétricas
- O estimador de Fourier de f
- Modelos P e NP
- Medidas de discrepância
- O estimador da janela móvel
- O papel de h_n
- Não existência de estimadores cêntricos de f
- Outros estimadores do núcleo
- Aplicação aos testes de ajustamento
- O estimador do histograma
- O estimador do núcleo
- Bibliografia

Estimação funcional: generalidades

XVIII Congresso da SPE, S. Pedro do Sul

29 de Setembro de 2010

Estimação não-paramétrica da densidade

- Estimação funcional
- ▷ Estimação NP da densidade
- Abordagens paramétricas
- O estimador de Fourier de f
- Modelos P e NP
- Medidas de discrepância
- O estimador da janela móvel
- O papel de h_n
- Não existência de estimadores cêntricos de f
- Outros estimadores do núcleo
- Aplicação aos testes de ajustamento
- O estimador do histograma
- O estimador do núcleo
- Bibliografia

1956, Annals of Mathematical Statistics

832

MURRAY ROSENBLATT

REMARKS ON SOME NONPARAMETRIC ESTIMATES OF A DENSITY FUNCTION¹

By MURRAY ROSENBLATT²

University of Chicago

1. Summary. This note discusses some aspects of the estimation of the density function of a univariate probability distribution. All estimates of the density function satisfying relatively mild conditions are shown to be biased. The asymptotic mean square error of a particular class of estimates is evaluated.

XVIII Congresso da SPE, S. Pedro do Sul

29 de Setembro de 2010

Rosenblatt, 1956

- Estimação funcional
- ▷ Estimação NP da densidade
- Abordagens paramétricas
- O estimador de Fourier de f
- Modelos P e NP
- Medidas de discrepancia
- O estimador da janela móvel
- O papel de h_n
- Não existência de estimadores cêntricos de f
- Outros estimadores do núcleo
- Aplicação aos testes de ajustamento
- O estimador do histograma
- O estimador do núcleo
- Bibliografia

3. The difference quotient of the sample distribution function. An obvious estimate of $f(y)$ is the difference quotient

$$S(y; X_1, \dots, X_n) = f_n(y) = \frac{F_n(y + h) - F_n(y - h)}{2h}$$

of the sample distribution function $F_n(y)$, where $h = h_n$ is a function of the sample size n and approaches zero as $n \rightarrow \infty$. The asymptotic behavior of this estimate as $n \rightarrow \infty$ is examined in terms of its mean square error. Fix and Hodges have used an estimate of this form in their discussion of a nonparametric discrimination problem [1].

Fix, E., Hodges, J.L., 1951
Akaike, H., 1954

XVIII Congresso da SPE, S. Pedro do Sul

29 de Setembro de 2010

XVIII Congresso da SPE, S. Pedro do Sul

29 de Setembro de 2010

4. A class of estimates of the density function. The discussion of the previous section suggests that the following class of estimates will be of interest. Let $w_n(u)$ be a nonnegative function such that

$$\int_{-\infty}^{\infty} w_n(u) du = 1.$$

The sequence of functions $\{w_n(u)\}$ is chosen so that the total mass concentrates in the neighborhood of zero as $n \rightarrow \infty$; that is, given any $\epsilon > 0$,

$$\int_{|u|<\epsilon} w_n(u) du \rightarrow 1$$

as $n \rightarrow \infty$. Corresponding to each sequence of weight functions $\{w_n(u)\}$ of this type, there is an estimate

$$f_n(y) = \int_{-\infty}^{\infty} w_n(y - u) dF_n(u) = \frac{1}{n} \sum_{j=1}^n w_n(y - X_j).$$

Estimação não-paramétrica da densidade

- Observamos n cópias independentes

$$X_1, \dots, X_n$$

duma variável real X com distribuição de densidade desconhecida f :

$$P(a < X < b) = \int_a^b f(x) dx$$

para todo $-\infty < a < b < +\infty$.

- Pretendemos estimar a densidade f através dum estimador f_n :

$$f_n(x) = f_n(x; X_1, \dots, X_n)$$

- Não é assumida qualquer forma funcional para f .

Note that all estimates of this form are themselves density functions; that is,

$$f_n(y) \geq 0,$$

and

$$\int_{-\infty}^{\infty} f_n(y) dy = 1.$$

An estimate $f_n(y)$ with any desired regularity properties can be obtained by choosing a weight function $w_n(u)$ with these same regularity properties. Thus, $f_n(y)$ will be analytic if $w_n(u)$ is.

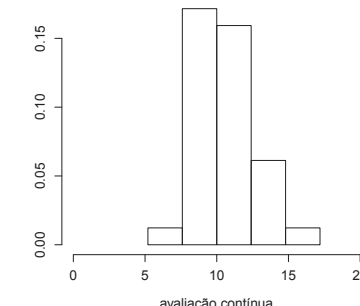
As an example, consider

$$w_n(u) = \frac{1}{h} w\left(\frac{u}{h}\right),$$

where $h = h_n \rightarrow 0$ as $n \rightarrow \infty$, and

$$\int_{-\infty}^{\infty} w(u) du = 1.$$

Estimação não-paramétrica da densidade



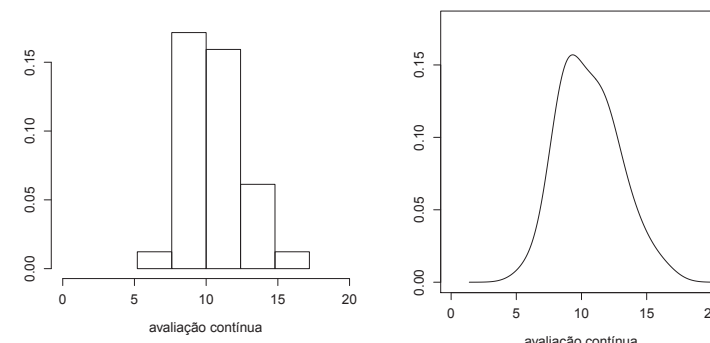
- O histograma desperdiça informação, substituindo cada observação pelo ponto médio da classe.
- Apesar da densidade subjacente ser assumida contínua, o histograma não reflecte esta característica.
- O histograma depende fortemente do tamanho escolhido para as classes e também da posição inicial dessas classes.

Estimação não-paramétrica da densidade

Estimação funcional
Estimação NP da
densidade
Abordagens
paramétricas
O estimador de
Fourier de f
Modelos P e NP
Medidas de
discrepância
O estimador da janela
móvel
O papel de h_n
Não existência de
estimadores céntricos
de f
Outros estimadores
do núcleo
Aplicação aos testes
de ajustamento
O estimador do
histograma

O estimador do
núcleo

Bibliografia



- Rosenblatt (1956) e Parzen (1962) desenvolvem uma abordagem alternativa introduzindo o estimador núcleo.
- As duas primeiras dificuldades anteriores são ultrapassadas.
- Sobra a última ...

XVIII Congresso da SPE, S. Pedro do Sul

29 de Setembro de 2010

O estimador do núcleo

Estimação funcional
Estimação NP da
densidade
Abordagens
paramétricas
O estimador de
Fourier de f
Modelos P e NP
Medidas de
discrepância
O estimador da janela
móvel
O papel de h_n
Não existência de
estimadores céntricos
de f
Outros estimadores
do núcleo
Aplicação aos testes
de ajustamento
O estimador do
histograma

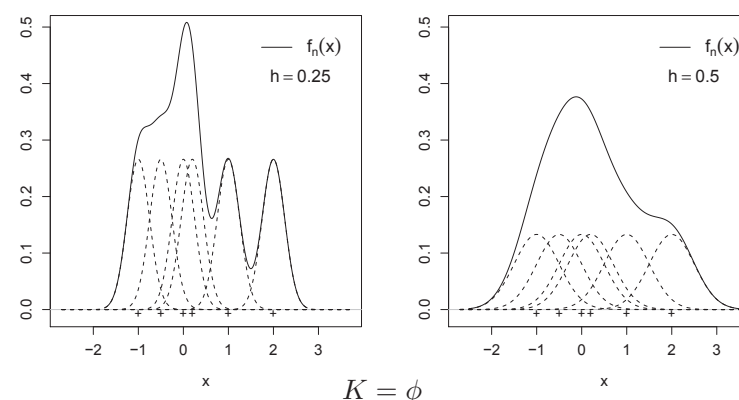
O estimador do
núcleo

Bibliografia

- A função

$$x \rightarrow K_h(x - X_i)$$

representa a contribuição da observação X_i para o estimador.



XVIII Congresso da SPE, S. Pedro do Sul

29 de Setembro de 2010

O estimador do núcleo

Estimação funcional
Estimação NP da
densidade
Abordagens
paramétricas
O estimador de
Fourier de f
Modelos P e NP
Medidas de
discrepância
O estimador da janela
móvel
O papel de h_n
Não existência de
estimadores céntricos
de f
Outros estimadores
do núcleo
Aplicação aos testes
de ajustamento
O estimador do
histograma

O estimador do
núcleo

Bibliografia

- O estimador do núcleo depende de dois “parâmetros” a fixar pelo utilizador:

- O **núcleo** K : $\int K(x)dx = 1$
- A **janela** h : $h = h_n$

- Estimador de Parzen-Rosenblatt:

$$\begin{aligned} f_n(x) &= \frac{1}{nh} \sum_{i=1}^n K\left(\frac{x - X_i}{h}\right) \\ &= \frac{1}{n} \sum_{i=1}^n K_h(x - X_i) \end{aligned}$$

onde

$$K_h(x) = K(x/h)/h$$

XVIII Congresso da SPE, S. Pedro do Sul

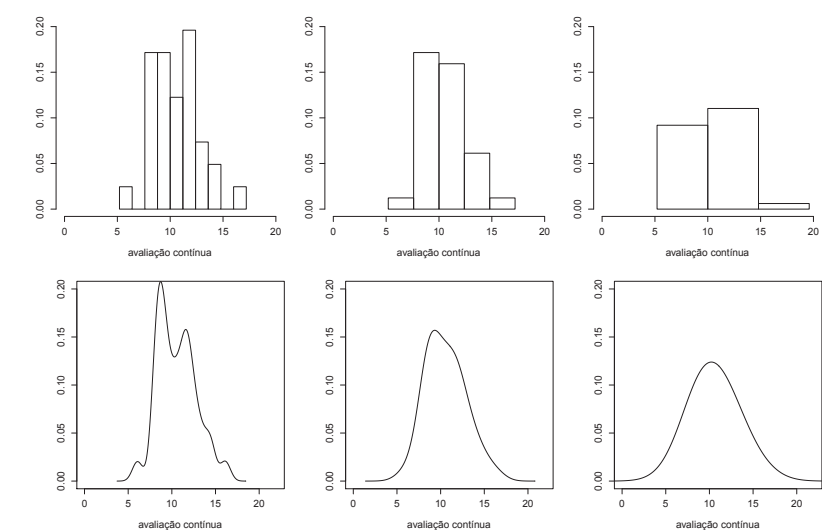
29 de Setembro de 2010

Influência da janela h_n

Estimação funcional
Estimação NP da
densidade
Abordagens
paramétricas
O estimador de
Fourier de f
Modelos P e NP
Medidas de
discrepância
O estimador da janela
móvel
O papel de h_n
Não existência de
estimadores céntricos
de f
Outros estimadores
do núcleo
Aplicação aos testes
de ajustamento
O estimador do
histograma

O estimador do
núcleo

Bibliografia



XVIII Congresso da SPE, S. Pedro do Sul

29 de Setembro de 2010

Abordagens paramétricas e não-paramétricas

Estimação funcional
Estimação NP da densidade
Abordagens ▷ paramétricas
O estimador de Fourier de f
Modelos P e NP
Medidas de discrepância
O estimador da janela móvel
O papel de h_n
Não existência de estimadores cêntricos de f
Outros estimadores do núcleo
Aplicação aos testes de ajustamento
O estimador do histograma
O estimador do núcleo
Bibliografia

□ Abordagem não-paramétrica:

- Não é assumida qualquer forma funcional para f .
- A ideia de base da inferência não-paramétrica é a de impor condições o menos restritivas possível sobre f .

□ Abordagem paramétrica:

- Assumimos que f pertence a uma família paramétrica de distribuições, como a normal, a lognormal ou a gama.
- Estimamos os parâmetros desconhecidos usando, por exemplo, o estimador da máxima verosimilhança.

O sistema de Pearson (1895)

Estimação funcional
Estimação NP da densidade
Abordagens ▷ paramétricas
O estimador de Fourier de f
Modelos P e NP
Medidas de discrepancia
O estimador da janela móvel
O papel de h_n
Não existência de estimadores cêntricos de f
Outros estimadores do núcleo
Aplicação aos testes de ajustamento
O estimador do histograma
O estimador do núcleo
Bibliografia

□ Uma densidade de probabilidade pertence ao sistema de Pearson se é solução da equação diferencial

$$\frac{d(\log f(x))}{dx} = \frac{x - a}{b_0 + b_1 x + b_2 x^2}.$$

□ Ao sistema de Pearson pertencem as distribuições normal, beta, gama, Student,...

□ Os parâmetros a, b_0, b_1, b_2 podem ser expresso em termos dos primeiros quatro momentos de f podendo ser estimados pelo método dos momentos:

$$a = b_1 = -\mu_3(\mu_4 + 3\mu_2^2)/A, \quad b_0 = -\mu_2(2\mu_2\mu_4 - 3\mu_3^2)/A,$$

$$b_2 = -(2\mu_2\mu_4 - 3\mu_3^2 - 6\mu_2^3)/A, \quad A = 10\mu_2\mu_4 - 18\mu_2^3 - 12\mu_3^2$$

Modelo normal

Estimação funcional
Estimação NP da densidade
Abordagens ▷ paramétricas
O estimador de Fourier de f
Modelos P e NP
Medidas de discrepancia
O estimador da janela móvel
O papel de h_n
Não existência de estimadores cêntricos de f
Outros estimadores do núcleo
Aplicação aos testes de ajustamento
O estimador do histograma
O estimador do núcleo
Bibliografia

$$f(\cdot) = \phi_\sigma(\cdot - \mu) \text{ para algum } \mu \in \mathbb{R} \text{ e } \sigma > 0.$$

□ Estimador paramétrico:

$$f_n(x) = \phi_{\hat{s}}(x - \bar{x})$$

$$\text{com } \bar{x} = \frac{1}{n} \sum_{i=1}^n X_i \text{ e } \hat{s}^2 = \frac{1}{n} \sum_{i=1}^n (X_i - \bar{X})^2.$$

□ Se μ e $\sigma^2 > 0$ são as verdadeiras média e variância de X então

$$f_n(x) \xrightarrow{P} \phi_\sigma(x - \mu)$$

□ $f_n(x) \xrightarrow{P} f(x)$ **apenas** quando f é uma densidade normal.

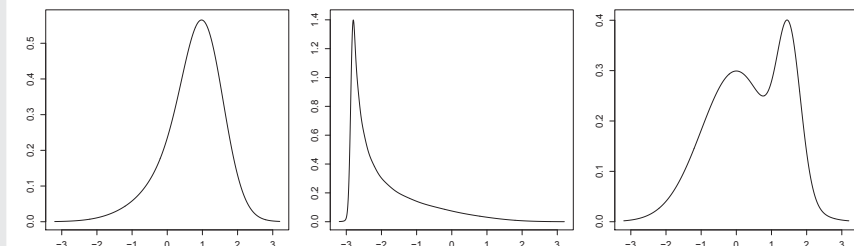
Estimação da densidade via modelos de mistura

Estimação funcional
Estimação NP da densidade
Abordagens ▷ paramétricas
O estimador de Fourier de f
Modelos P e NP
Medidas de discrepancia
O estimador da janela móvel
O papel de h_n
Não existência de estimadores cêntricos de f
Outros estimadores do núcleo
Aplicação aos testes de ajustamento
O estimador do histograma
O estimador do núcleo
Bibliografia

□ Fraley e Raftery (2002) propõem ajustar aos dados cada um dos modelos

$$f(x) = \sum_{i=1}^G \alpha_i \phi_{\sigma_i}(x - \mu_i),$$

com $G = 1, \dots, K$.



□ R: Package 'mclust' (2010)

Estimação da densidade por projecção

- Suponhamos que f está definida no intervalo $[0, 1]$.
- Consideremos as funções trigonométricas

$$q_0(x) = 1; \quad q_{2k-1}(x) = \sqrt{2} \cos(2\pi kx); \quad q_{2k}(x) = \sqrt{2} \sin(2\pi kx),$$

$k = 1, 2, \dots$ que formam uma base de $L^2([0, 1])$.

- Qualquer densidade de quadrado integrável pode ser representada na forma

$$f(x) = \sum_{j=0}^{\infty} \theta_j q_j(x),$$

onde o coeficiente de Fourier θ_j é dado por

$$\theta_j = \int_0^1 f(x) q_j(x) dx = E(q_j(X)).$$

Estimação funcional
Estimação NP da densidade
Abordagens paramétricas
O estimador de Fourier de f
▷ Modelos P e NP
Medidas de discrepância
O estimador da janela móvel
O papel de h_n
Não existência de estimadores céntricos de f
Outros estimadores do núcleo
Aplicação aos testes de ajustamento
O estimador do histograma
O estimador do núcleo
Bibliografia

Modelos paramétricos e não-paramétricos

- Um modelo para a estimação de f consiste na introdução de uma restrição da forma

$$f \in \mathcal{D},$$

onde \mathcal{D} é uma família de densidades de probabilidade.

- Quando \mathcal{D} pode ser indexada por um número finito de números reais, dizemos que o modelo é **paramétrico**.

A restrição $f \in \mathcal{D}$ fixa uma forma funcional para f .

- Caso contrário, quando a família \mathcal{D} é demasiado vasta para ser indexada por um número finito de números reais, o modelo diz-se **não-paramétrico**.

A restrição $f \in \mathcal{D}$ traduz-se na especificação de condições de regularidade sobre f .

Estimação funcional
Estimação NP da densidade
Abordagens paramétricas
O estimador de Fourier de f
▷ Modelos P e NP
Medidas de discrepancia
O estimador da janela móvel
O papel de h_n
Não existência de estimadores céntricos de f
Outros estimadores do núcleo
Aplicação aos testes de ajustamento
O estimador do histograma
O estimador do núcleo
Bibliografia

Estimação da densidade por projecção

- O coeficiente de Fourier $\theta_j = E(q_j(X))$ pode ser estimado sem-viés por

$$\hat{\theta}_j = \frac{1}{n} \sum_{i=1}^n q_j(X_i).$$

- Um possível estimador para f é dado pela série truncada

$$f_n(x) = \sum_{j=0}^m \hat{\theta}_j q_j(x)$$

onde $m = m(n) \rightarrow \infty$, dito **estimador de Fourier de f** .

(Cencov, 1962)

Estimação funcional
Estimação NP da densidade
Abordagens paramétricas
O estimador de Fourier de f
Modelos P e NP
Medidas de discrepancia
O estimador da janela móvel
O papel de h_n
Não existência de estimadores céntricos de f
Outros estimadores do núcleo
Aplicação aos testes de ajustamento
O estimador do histograma
O estimador do núcleo
Bibliografia

Medidas da qualidade dum estimador

- Uma **medida local** da qualidade dum estimador $f_n(x)$ de $f(x)$ é o erro quadrático médio definido por

$$\begin{aligned} EQM(f_n(x)) &= E\{f_n(x) - f(x)\}^2 \\ &= E\{f_n(x) - Ef_n(x)\}^2 + \{Ef_n(x) - f(x)\}^2 \\ &= Var f_n(x) + Viés f_n(x)^2. \end{aligned}$$

- A mais usada **medida global** da qualidade de f_n como estimador de f é o erro quadrático médio integrado definido por

$$\begin{aligned} EQMI(f_n) &= E \int \{f_n(x) - f(x)\}^2 dx \\ &= \int Var f_n(x) dx + \int Viés f_n(x)^2 dx \\ &= IVAR(f_n) + IVIES(f_n). \end{aligned}$$

Estimação funcional
Estimação NP da densidade
Abordagens paramétricas
O estimador de Fourier de f
Modelos P e NP
Medidas de discrepancia
O estimador da janela móvel
O papel de h_n
Não existência de estimadores céntricos de f
Outros estimadores do núcleo
Aplicação aos testes de ajustamento
O estimador do histograma
O estimador do núcleo
Bibliografia

Medidas da qualidade dum estimador

Estimação funcional
Estimação NP da densidade
Abordagens paramétricas
O estimador de Fourier de f
Modelos P e NP
Medidas de discrepança
Outros estimadores do núcleo
Aplicação aos testes de ajustamento
O estimador do histograma
O estimador do núcleo
Bibliografia

- Outras medidas globais da qualidade do estimador f_n :

- Distância L_∞ (ou do supremo) entre f_n e f :

$$\|f_n - f\|_\infty = \sup_{-\infty < x < +\infty} |f_n(x) - f(x)|$$

- Distância L_2 entre f_n e f :

$$\|f_n - f\|_2 = \left(\int \{f_n(x) - f(x)\}^2 dx \right)^{1/2}$$

- Distância L_1 entre f_n e f :

$$\|f_n - f\|_1 = \int |f_n(x) - f(x)| dx$$

XVIII Congresso da SPE, S. Pedro do Sul

29 de Setembro de 2010

O estimador da janela móvel

- Como

$$2nh_n f_n(x) \sim B(n, F(x + h_n) - F(x - h_n))$$

concluímos que

$$\text{Viés } f_n(x) = q_n(x) - f(x)$$

$$\text{Var } f_n(x) = \frac{1}{2nh_n} q_n(x)(1 - 2h_n q_n(x)),$$

onde

$$q_n(x) = \frac{F(x + h_n) - F(x - h_n)}{2h_n} \rightarrow f(x), \text{ se } h_n \rightarrow 0$$

Se f contínua em x , e se $h_n \rightarrow 0$ e $nh_n \rightarrow +\infty$, então

$$\text{EQM}(f_n(x)) \rightarrow 0$$

O estimador da janela móvel

Estimação funcional
Estimação NP da densidade
Abordagens paramétricas
O estimador de Fourier de f
Modelos P e NP
Medidas de discrepança
Outros estimadores do núcleo
Aplicação aos testes de ajustamento
O estimador do histograma
O estimador do núcleo
Bibliografia

- O estimador do núcleo proposto por Rosenblatt (1956) é uma extensão do estimador da janela móvel previamente considerado por Fix e Hodges (1951) e Akaike (1954) no contexto da análise discriminante não-paramétrica:

$$f_n(x) = \frac{F_n(x + h_n) - F_n(x - h_n)}{2h_n}$$

onde

$$F_n(x) = \frac{1}{n} \sum_{i=1}^n I(X_i \leq x).$$

- f_n é o estimador do núcleo associado ao núcleo uniforme:

$$K(u) = \frac{1}{2} I(|u| \leq 1)$$

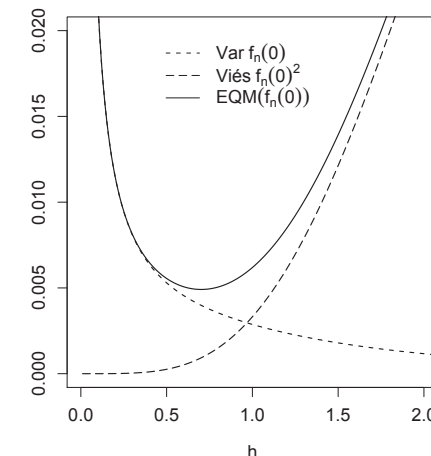
XVIII Congresso da SPE, S. Pedro do Sul

29 de Setembro de 2010

O papel do parâmetro de suavização h_n

Estimação funcional
Estimação NP da densidade
Abordagens paramétricas
O estimador de Fourier de f
Modelos P e NP
Medidas de discrepança
Outros estimadores do núcleo
Aplicação aos testes de ajustamento
O estimador do histograma
O estimador do núcleo
Bibliografia

- f é a densidade normal standard, $x = 0$ e $n = 100$.



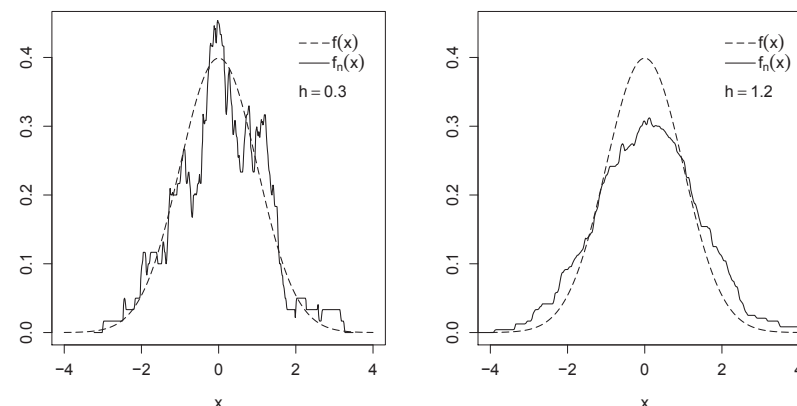
XVIII Congresso da SPE, S. Pedro do Sul

29 de Setembro de 2010

O papel do parâmetro de suavização h_n

Estimação funcional
Estimação NP da densidade
Abordagens paramétricas
O estimador de Fourier de f
Modelos P e NP
Medidas de discrepância
O estimador da janela móvel
▷ O papel de h_n
Não existência de estimadores cêntricos de f
Outros estimadores do núcleo
Aplicação aos testes de ajustamento
O estimador do histograma
O estimador do núcleo
Bibliografia

- f é a densidade normal standard, $x = 0$ e $n = 100$.



XVIII Congresso da SPE, S. Pedro do Sul

29 de Setembro de 2010

Estimador de Nadaraya-Watson

Estimação funcional
Estimação NP da densidade
Abordagens paramétricas
O estimador de Fourier de f
Modelos P e NP
Medidas de discrepancia
O estimador da janela móvel
O papel de h_n
Não existência de estimadores cêntricos de f
Outros estimadores do núcleo
Aplicação aos testes de ajustamento
O estimador do histograma
O estimador do núcleo
Bibliografia

- Função de regressão: $r(x) = E(Y|X = x)$

- Nadaraya 1964, Watson 1964:

$$\begin{aligned} r_n(x) &= \sum_{i=1}^n Y_i K_h(x - X_i) / \sum_{i=1}^n K_h(x - X_i) \\ &= \frac{1}{n} \sum_{i=1}^n Y_i W_{i,h}(x) \end{aligned}$$

com

$$W_{i,h}(x) = \frac{K_h(x - X_i)}{\sum_{i=1}^n K_h(x - X_i)}$$

XVIII Congresso da SPE, S. Pedro do Sul

29 de Setembro de 2010

Não existência de estimadores cêntricos de f

Estimação funcional
Estimação NP da densidade
Abordagens paramétricas
O estimador de Fourier de f
Modelos P e NP
Medidas de discrepancia
O estimador da janela móvel
O papel de h_n
Não existência de estimadores cêntricos de f
Outros estimadores do núcleo
Aplicação aos testes de ajustamento
O estimador do histograma
O estimador do núcleo
Bibliografia

Dado $n \in \mathbb{N}$, não existe um estimador não-negativo $\gamma_n(\cdot; X_1, \dots, X_n)$ de f tal que

$$E\gamma_n(x; X_1, \dots, X_n) = f(x),$$

para todo o $f \in \mathcal{C}$ e $x \in \mathbb{R}$, onde \mathcal{C} é a família das densidades de probabilidade contínuas em \mathbb{R} .

(Rosenblatt, 1956)

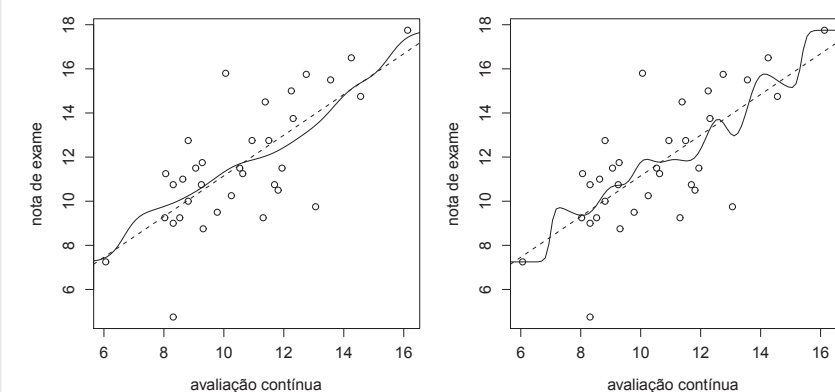
- O problema do viés do estimador é dos problemas mais importantes na estimação não-paramétrica da densidade.
- Será possível controlar ou reduzir este viés?

XVIII Congresso da SPE, S. Pedro do Sul

29 de Setembro de 2010

Estimador de Nadaraya-Watson

Estimação funcional
Estimação NP da densidade
Abordagens paramétricas
O estimador de Fourier de f
Modelos P e NP
Medidas de discrepancia
O estimador da janela móvel
O papel de h_n
Não existência de estimadores cêntricos de f
Outros estimadores do núcleo
Aplicação aos testes de ajustamento
O estimador do histograma
O estimador do núcleo
Bibliografia



$$K = \phi$$

XVIII Congresso da SPE, S. Pedro do Sul

29 de Setembro de 2010

Estimação da função de distribuição e da taxa de quebra

Estimação funcional
Estimação NP da densidade
Abordagens paramétricas
O estimador de Fourier de f
Modelos P e NP
Medidas de discrepância
O estimador da janela móvel
O papel de h_n
Não existência de estimadores céntricos de f
Outros estimadores do núcleo
Aplicação aos testes de ajustamento

O estimador do histograma
O estimador do núcleo
Bibliografia

□ Função de distribuição: $F(x) = \int_{-\infty}^x f(u)du$

□ Taxa de quebra (failure rate, hazard function):
 $t(x) = f(x)/(1 - F(x))$

□ Tiago de Oliveira 1963, Watson e Leadbetter 1964, Nadaraya 1964:

$$\begin{aligned} F_n(x) &= \int_{-\infty}^x f_n(u)du \\ &= \frac{1}{n} \sum_{i=1}^n \bar{K}_h(x - X_i), \end{aligned}$$

onde

$$\bar{K}(u) = \int_{-\infty}^u K(y)dy.$$

XVIII Congresso da SPE, S. Pedro do Sul

29 de Setembro de 2010

Tiago de Oliveira, 1963

Estimação funcional
Estimação NP da densidade
Abordagens paramétricas
O estimador de Fourier de f
Modelos P e NP
Medidas de discrepança
O estimador da janela móvel
O papel de h_n
Não existência de estimadores céntricos de f
Outros estimadores do núcleo
Aplicação aos testes de ajustamento

O estimador do histograma
O estimador do núcleo
Bibliografia

II.2—Estimação de funções de distribuição por médias.

Vamos estudar o problema da estimação de funções de distribuição, de modo análogo ao que já tratámos na estimação de densidades.

Seja K uma função de distribuição (continua) e consideremos a sucessão de estatísticas

$$F_n^*(x) = \frac{1}{n} \sum_i K\left(\frac{x - X_i}{\hat{\delta}_n}\right)$$

para x fixado e em que $\hat{\delta}_n \rightarrow 0$. É óbvio que $K\left(\frac{x - y}{\hat{\delta}_n}\right)$ converge completamente para $H(x - y)$, em que H é a função de distribuição da variável aleatória certa colocada na origem das coordenadas (função de salto de Heaviside).

XVIII Congresso da SPE, S. Pedro do Sul

29 de Setembro de 2010

Tiago de Oliveira, 1963

Estimação funcional
Estimação NP da densidade
Abordagens paramétricas
O estimador de Fourier de f
Modelos P e NP
Medidas de discrepança
O estimador da janela móvel
O papel de h_n
Não existência de estimadores céntricos de f
Outros estimadores do núcleo
Aplicação aos testes de ajustamento

O estimador do histograma
O estimador do núcleo
Bibliografia

J. TIAGO DE OLIVEIRA

ESTATÍSTICA DE DENSIDADES RESULTADOS ASSINTÓTICOS

SEPARATA DA REVISTA DA FACULDADE DE CIÉNCIAS DE LISBOA
2.ª Série — A — Vol. IX — Fasc. 1.º — Págs. 111 a 206

LISBOA
1963

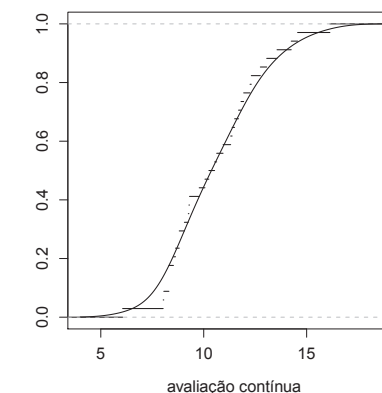
XVIII Congresso da SPE, S. Pedro do Sul

29 de Setembro de 2010

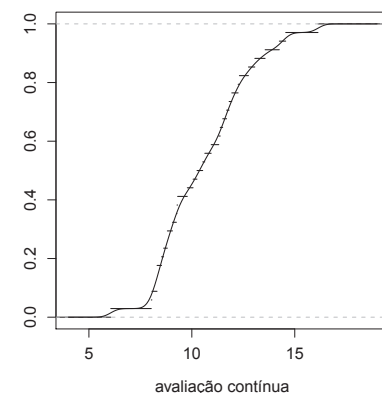
Estimador do núcleo da FD

Estimação funcional
Estimação NP da densidade
Abordagens paramétricas
O estimador de Fourier de f
Modelos P e NP
Medidas de discrepança
O estimador da janela móvel
O papel de h_n
Não existência de estimadores céntricos de f
Outros estimadores do núcleo
Aplicação aos testes de ajustamento

O estimador do histograma
O estimador do núcleo
Bibliografia



avaliação contínua



avaliação contínua

$$K = \phi$$

XVIII Congresso da SPE, S. Pedro do Sul

29 de Setembro de 2010

Estimação de outros parâmetros funcionais e aplicações

- Derivadas da densidade

$$f_n^{(k)}(x) = \frac{1}{nh^{k+1}} \sum_{i=1}^n K^{(k)}\left(\frac{x - X_i}{h}\right)$$

- Derivadas da regressão

- Funcionais da densidade e regressão e suas derivadas

- Função quantil

- Densidade condicional

- Análise discriminante não-paramétrica

- Bootstrap suave

- Testes de ajustamento

Estimação funcional
Estimação NP da densidade
Abordagens paramétricas
O estimador de Fourier de f
Modelos P e NP
Medidas de discrepança
O estimador da janela móvel
O papel de h_n
Não existência de estimadores cêntricos de f
Outros estimadores do núcleo
Aplicação aos testes de ajustamento

O estimador do histograma
O estimador do núcleo

Bibliografia

XVIII Congresso da SPE, S. Pedro do Sul

29 de Setembro de 2010

Aplicação aos testes de ajustamento

- Bickel e Rosenblatt (1973) propõem estatísticas de teste baseadas no estimador do núcleo da densidade:

$$n \int \{f_n(x) - f_0(x)\}^2 dx$$

$$n \int \{f_n(x) - E_0 f_n(x)\}^2 dx$$

e

discrepância “pequena”

discrepância “grande”

Aceitar H_0

Rejeitar H_0

Estimação funcional
Estimação NP da densidade
Abordagens paramétricas
O estimador de Fourier de f
Modelos P e NP
Medidas de discrepança
O estimador da janela móvel
O papel de h_n
Não existência de estimadores cêntricos de f
Outros estimadores do núcleo
Aplicação aos testes de ajustamento

O estimador do histograma
O estimador do núcleo

Bibliografia

XVIII Congresso da SPE, S. Pedro do Sul

29 de Setembro de 2010

Aplicação aos testes de ajustamento

- Observamos n cópias independentes da variável X com distribuição de densidade f desconhecida:

$$X_1, \dots, X_n$$

- Pretendemos testar

$$H_0 : f = f_0 \text{ contra } H_1 : f \neq f_0$$

onde f_0 é uma densidade de probabilidade fixa à partida.

- O teste do qui-quadrado pode ser visto como um teste baseado do estimador do histograma:

$$\chi_n^2 = n \int \frac{\{\hat{f}_n(x) - E_0 \hat{f}_n(x)\}^2}{E_0 \hat{f}_n(x)} dx$$

XVIII Congresso da SPE, S. Pedro do Sul

29 de Setembro de 2010

O estimador do histograma

Estimação funcional
O estimador do histograma
Definição
Propriedades locais
Propriedades globais
EQMI
Janela óptima
Influência da origem da partição
Escolha prática da janela
O polígono de frequências
O estimador do núcleo
Bibliografia

XVIII Congresso da SPE, S. Pedro do Sul

29 de Setembro de 2010

O estimador do histograma

Estimação funcional

O estimador do histograma

Definição

Propriedades locais

Propriedades globais

EQMI

Janela óptima

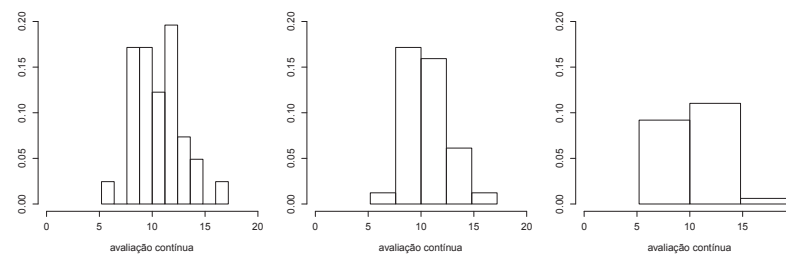
Influência da origem da partição

Escolha prática da janela

O polígono de frequências

O estimador do núcleo

Bibliografia



- Definição do estimador
- Propriedades locais e globais
- A influência da origem da partição
- Escolha prática da janela
- O polígono de frequências

XVIII Congresso da SPE, S. Pedro do Sul

29 de Setembro de 2010

O estimador do histograma

Estimação funcional

O estimador do histograma

▷ Definição

Propriedades locais

Propriedades globais

EQMI

Janela óptima

Influência da origem da partição

Escolha prática da janela

O polígono de frequências

O estimador do núcleo

Bibliografia

- Para $x \in \mathbb{R}$,

$$\hat{f}_n(x) = \sum_{j \in \mathbb{Z}} \frac{\nu_j}{nh} I(x \in \Delta_{n,j})$$

com

$$\nu_j = \nu_{n,j} = \sum_{i=1}^n I(X_i \in \Delta_{n,j}) \sim B(n, p_j)$$

e

$$p_j = p_{n,j} = \int_{\Delta_{n,j}} f(y) dy.$$

- O estimador do histograma é um estimador próprio da densidade (bona fide density estimator):

- $\hat{f}_n(x) \geq 0$
- $\int \hat{f}_n(x) dx = 1$

XVIII Congresso da SPE, S. Pedro do Sul

29 de Setembro de 2010

O estimador do histograma

Estimação funcional

O estimador do histograma

▷ Definição

Propriedades locais

Propriedades globais

EQMI

Janela óptima

Influência da origem da partição

Escolha prática da janela

O polígono de frequências

O estimador do núcleo

Bibliografia

- Δ_n é uma partição de \mathbb{R} definida a partir de uma origem $a_{n,0}$ por

$$\Delta_{n,j} =]a_{n,j}, a_{n,j+1}],$$

onde

$$a_{n,j+1} = a_{n,j} + h, j \in \mathbb{Z},$$

e

$$h = h_n > 0.$$

- Para $x \in \Delta_{n,j}$ o estimador do histograma é definido por

$$\begin{aligned}\hat{f}_n(x) &= \frac{F_n(a_{n,j+1}) - F_n(a_{n,j})}{h} \\ &= \frac{1}{nh} \sum_{i=1}^n I(X_i \in \Delta_{n,j})\end{aligned}$$

XVIII Congresso da SPE, S. Pedro do Sul

29 de Setembro de 2010

Viés do estimador

Estimação funcional

O estimador do histograma

Definição

▷ Propriedades locais

Propriedades globais

EQMI

Janela óptima

Influência da origem da partição

Escolha prática da janela

O polígono de frequências

O estimador do núcleo

Bibliografia

- As propriedades do histograma variam em função do intervalo da partição.

- Para $x \in \Delta_{n,j}$,

$$\mathbb{E} \hat{f}_n(x) = \frac{\mathbb{E}(\nu_j)}{nh} = \frac{p_j}{h} = \frac{1}{h} \int_{\Delta_{n,j}} f(y) dy$$

$$\text{Viés } \hat{f}_n(x) = \frac{1}{h} \int_{\Delta_{n,j}} \{f(y) - f(x)\} dy$$

Se f é contínua em $x \in \mathbb{R}$ e $h = h_n \rightarrow 0$ então \hat{f}_n é assintoticamente sem-viés:

$$\mathbb{E} \hat{f}_n(x) \rightarrow f(x).$$

XVIII Congresso da SPE, S. Pedro do Sul

29 de Setembro de 2010

Viés do estimador

Estimação funcional
O estimador do histograma
Definição
▷ Propriedades locais
Propriedades globais
EQMI
Janela óptima
Influência da origem da partição
Escolha prática da janela
O polígono de frequências
O estimador do núcleo
Bibliografia

- Suponhamos f verifica uma **condição de Lipschitz** de ordem $\alpha \in]0, 1]$ numa vizinhança de $x \in \mathbb{R}$: existem $\delta > 0$ e $M > 0$ (possivelmente dependentes de x) tais que

$$|f(y) - f(z)| \leq M|y - z|^\alpha,$$

para todo o $y, z \in]x - \delta, x + \delta[$.

- Para n suficientemente grande

$$|\text{Viés } \hat{f}_n(x)| \leq \frac{1}{h} \int_{\Delta_{n,j}} |f(y) - f(x)| dy \leq Mh^\alpha,$$

Para $x \in \mathbb{R}$, se $f \in \mathcal{L}_x(\alpha)$ e $h_n \rightarrow 0$ então

$$\text{Viés } \hat{f}_n(x) = O(h_n^\alpha).$$

XVIII Congresso da SPE, S. Pedro do Sul

29 de Setembro de 2010

Viés do estimador

Estimação funcional
O estimador do histograma
Definição
▷ Propriedades locais
Propriedades globais
EQMI
Janela óptima
Influência da origem da partição
Escolha prática da janela
O polígono de frequências
O estimador do núcleo
Bibliografia

$$\text{Viés } \hat{f}_n(x) = \frac{1}{h} \int_{\Delta_{n,j}} \{f(y) - f(x)\} dy$$

$$f(y) = f(x) + (y - x) \int_0^1 f'(x + t(y - x)) dt$$

Para $x \in \mathbb{R}$, se $f' \in \mathcal{L}_x(\alpha)$ e $h_n \rightarrow 0$ então

$$\text{Viés } \hat{f}_n(x) = \frac{h_n}{2} f'(x) (1 - 2(x - a_{n,j_x})/h_n) + O(h_n^{1+\alpha}),$$

onde $[a_{n,j_x}, a_{n,j_x} + h_n]$ é o elemento da partição Δ_n que contém x .

Fórmula de Taylor

Estimação funcional
O estimador do histograma
Definição
▷ Propriedades locais
Propriedades globais
EQMI
Janela óptima
Influência da origem da partição
Escolha prática da janela
O polígono de frequências
O estimador do núcleo
Bibliografia

Seja g uma função real de variável real admitindo derivada até à ordem $p - 1$ numa vizinhança do ponto $x \in \mathbb{R}$. Então, sendo u_n uma qualquer sucessão de números reais convergente para zero temos

$$g(x + u_n) = \sum_{\ell=0}^{p-1} \frac{u_n^\ell}{\ell!} g^{(\ell)}(x) + R_n(x),$$

onde

$$R_n(x) = o(u_n^{p-1}) \quad [\text{resto infinitesimal}]$$

Além disso, se g admite derivada de ordem p contínua numa vizinhança do ponto x temos

$$R_n(x) = u_n^p \int_0^1 \frac{(1-t)^{p-1}}{(p-1)!} g^{(p)}(x + tu_n) dt \quad [\text{resto integral}]$$

XVIII Congresso da SPE, S. Pedro do Sul

29 de Setembro de 2010

Variância do estimador

Estimação funcional
O estimador do histograma
Definição
▷ Propriedades locais
Propriedades globais
EQMI
Janela óptima
Influência da origem da partição
Escolha prática da janela
O polígono de frequências
O estimador do núcleo
Bibliografia

- Para $x \in \Delta_{n,j}$,

$$\text{Var } \hat{f}_n(x) = \frac{\text{Var}(\nu_j)}{(nh)^2} = \frac{p_j(1-p_j)}{nh^2}$$

com

$$\frac{p_j}{h} \rightarrow f(x)$$

Se f é contínua em $x \in \mathbb{R}$ e $h_n \rightarrow 0$ então

$$nh_n \text{Var } \hat{f}_n(x) \rightarrow f(x).$$

Além disso, se $nh_n \rightarrow +\infty$ então

$$\text{Var } \hat{f}_n(x) \rightarrow 0.$$

XVIII Congresso da SPE, S. Pedro do Sul

29 de Setembro de 2010

XVIII Congresso da SPE, S. Pedro do Sul

29 de Setembro de 2010

Erro quadrático médio

Estimação funcional
O estimador do histograma
Definição
▷ Propriedades locais
Propriedades globais
EQMI
Janela óptima
Influência da origem da partição
Escolha prática da janela
O polígono de frequências
O estimador do núcleo
Bibliografia

Para $x \in \mathbb{R}$, se f é derivável com $f' \in \mathcal{L}_x(\alpha)$ então,

$$\text{EQM}(\hat{f}_n(x)) = \frac{1}{nh_n} f(x) + \frac{h_n^2}{4} f'(x)^2 (1 - 2(x - a_{n,j_x})/h_n)^2 + O(n^{-1}) + O(h_n^{2+\alpha}).$$

- A maior ordem de convergência é obtida quando

$$h_n = c n^{-1/3}, \text{ com } c > 0,$$

caso em que

$$\hat{f}_n(x) - f(x) = O_p(n^{-1/3}).$$

XVIII Congresso da SPE, S. Pedro do Sul

29 de Setembro de 2010

Convergência L_∞

Estimação funcional
O estimador do histograma
Definição
Propriedades locais
Propriedades globais
▷ globais
EQMI
Janela óptima
Influência da origem da partição
Escolha prática da janela
O polígono de frequências
O estimador do núcleo
Bibliografia

- Assumiremos que f é **uniformemente contínua** em \mathbb{R} , isto é, para todo $\epsilon > 0$, existe $\delta > 0$ tal que

$$|f(x) - f(y)| < \epsilon,$$

para todos os números reais x, y que satisfazem

$$|x - y| < \delta.$$

Se $f \in \mathcal{U}$ e $h_n \rightarrow 0$ então

$$||\mathbf{E}\hat{f}_n - f||_\infty \xrightarrow{qc} 0.$$

Convergência L_∞

Estimação funcional
O estimador do histograma
Definição
Propriedades locais
Propriedades globais
▷ globais
EQMI
Janela óptima
Influência da origem da partição
Escolha prática da janela
O polígono de frequências
O estimador do núcleo
Bibliografia

- Pretendemos obter condições sobre f e h_n que assegurem a convergência

$$||\hat{f}_n - f||_\infty \xrightarrow{qc} 0.$$

- Utilizamos a desigualdade

$$||\hat{f}_n - f||_\infty \leq ||\hat{f}_n - \mathbf{E}\hat{f}_n||_\infty + ||\mathbf{E}\hat{f}_n - f||_\infty$$

- Para $x \in \mathbb{R}$,

$$\mathbf{E}\hat{f}_n(x) - f(x) = \frac{1}{h} \int_{\Delta_{n,j_x}} \{f(y) - f(x)\} dy$$

- É necessário impor condições globais de regularidade sobre f .

XVIII Congresso da SPE, S. Pedro do Sul

29 de Setembro de 2010

XVIII Congresso da SPE, S. Pedro do Sul

29 de Setembro de 2010

Convergência L_∞

Estimação funcional
O estimador do histograma
Definição
Propriedades locais
Propriedades globais
▷ globais
EQMI
Janela óptima
Influência da origem da partição
Escolha prática da janela
O polígono de frequências
O estimador do núcleo
Bibliografia

- Para $x \in \Delta_{n,j}$,

$$\hat{f}_n(x) = \frac{F_n(a_{n,j+1}) - F_n(a_{n,j})}{h}$$

- Assim

$$||\hat{f}_n - \mathbf{E}\hat{f}_n||_\infty \leq \frac{2}{h} ||F_n - F||_\infty$$

onde

$$\limsup \sqrt{\frac{2n}{\log \log n}} ||F_n - F||_\infty \leq 1 \text{ q.c.}$$

Se $f \in \mathcal{U}$, $h_n \rightarrow 0$ e $nh_n^2 / \log \log n \rightarrow +\infty$ então

$$||\hat{f}_n - f||_\infty \xrightarrow{qc} 0.$$

Convergência L_∞

- Uma análise mais fina do termo do termo aleatório $\|\hat{f}_n - E\hat{f}_n\|_\infty$ permite melhorar o resultado anterior.
- As condições anteriores sobre h_n podem ser ainda enfraquecidas:

Se $h_n \rightarrow 0$ então as seguintes proposições são equivalentes:

- i) $nh_n / \log n \rightarrow +\infty$;
- ii) $\forall f \in \mathcal{U} \quad \|\hat{f}_n - f\|_\infty \xrightarrow{p} 0$;
- iii) $\forall f \in \mathcal{U} \quad \|\hat{f}_n - f\|_\infty \xrightarrow{qc} 0$.

(Geffroy, 1974)

Estimação funcional
O estimador do histograma
Definição
Propriedades locais
Propriedades globais
EQMI
Janela óptima
Influência da origem da partição
Escolha prática da janela
O polígono de frequências
O estimador do núcleo
Bibliografia

XVIII Congresso da SPE, S. Pedro do Sul

29 de Setembro de 2010

Convergência L_1

- Pelo Teorema de Glick (1974) a convergência pontual quase certa ou em probabilidade dum estimador próprio da densidade implica a convergência L_1 .

- É, no entanto, possível fazer bem melhor:

As proposições seguintes são equivalentes:

- i) $h_n \rightarrow 0, nh_n \rightarrow +\infty$;
- ii) $\forall f \in \mathcal{F} \quad \|\hat{f}_n - f\|_1 \xrightarrow{p} 0$;
- iii) $\forall f \in \mathcal{F} \quad \|\hat{f}_n - f\|_1 \xrightarrow{qc} 0$.

(Abou-Jaoudé, 1976)

Estimação funcional
O estimador do histograma
Definição
Propriedades locais
Propriedades globais
EQMI
Janela óptima
Influência da origem da partição
Escolha prática da janela
O polígono de frequências
O estimador do núcleo
Bibliografia

XVIII Congresso da SPE, S. Pedro do Sul

29 de Setembro de 2010

EQMI

- A variância e o viés globais do histograma podem ser facilmente quantificadas a partir das medidas

$$\text{IVAR}(\hat{f}_n) = \int \text{Var} \hat{f}_n(x) dx$$

$$\text{IVIES}(\hat{f}_n) = \int \text{Viés} \hat{f}_n(x)^2 dx$$

$$\begin{aligned} \text{EQMI}(\hat{f}_n) &= E \int \{\hat{f}_n(x) - f(x)\}^2 dx \\ &= \text{IVAR}(\hat{f}_n) + \text{IVIES}(\hat{f}_n) \end{aligned}$$

Estimação funcional
O estimador do histograma
Definição
Propriedades locais
Propriedades globais
EQMI
Janela óptima
Influência da origem da partição
Escolha prática da janela
O polígono de frequências
O estimador do núcleo
Bibliografia

XVIII Congresso da SPE, S. Pedro do Sul

29 de Setembro de 2010

EQMI e EQMIA

Suponhamos que f possui derivada de terceira ordem, com f'' absolutamente contínua e f, f', f'', f''' de quadrado integrável. Se $h_n \rightarrow 0$ então

$$\text{IVAR}(\hat{f}_n) = \frac{1}{nh_n} + O(n^{-1}),$$

$$\text{IVIES}(\hat{f}_n) = \frac{h_n^2}{12} R(f') + O(h_n^3)$$

e

$$\text{EQMI}(\hat{f}_n) = \frac{1}{nh_n} + \frac{h_n^2}{12} R(f'') + O(n^{-1}) + O(h_n^3).$$

(Freedman e Diaconis, 1981)

EQMIA

XVIII Congresso da SPE, S. Pedro do Sul

29 de Setembro de 2010

Janela assintoticamente óptima

Estimação funcional
O estimador do histograma
Definição
Propriedades locais
Propriedades globais
EQMI
▷ Janela óptima
Influência da origem da partição
Escolha prática da janela
O polígono de frequências
O estimador do núcleo
Bibliografia

Se f é tal que $R(f') > 0$, o valor de h_n que minimiza o EQMIA é dado por

$$h_{\text{EQMIA}} = (6/R(f'))^{1/3} n^{-1/3}.$$

- Nas condições do resultado anterior, a maior ordem de convergência para zero do erro quadrático médio integrado é obtida quando tomamos

$$h_n = c n^{-1/3}, \text{ com } c > 0,$$

obtendo-se neste caso

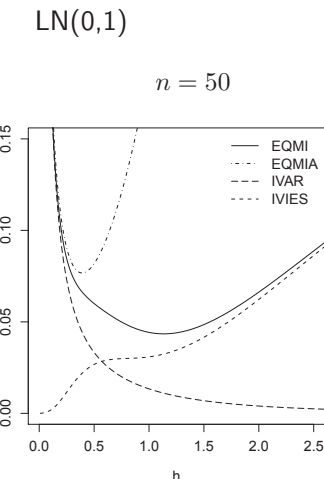
$$\text{EQMI}(\hat{f}_n) = O(n^{-2/3}).$$

XVIII Congresso da SPE, S. Pedro do Sul

29 de Setembro de 2010

EQMI vs. EQMIA

Estimação funcional
O estimador do histograma
Definição
Propriedades locais
Propriedades globais
EQMI
▷ Janela óptima
Influência da origem da partição
Escolha prática da janela
O polígono de frequências
O estimador do núcleo
Bibliografia



XVIII Congresso da SPE, S. Pedro do Sul

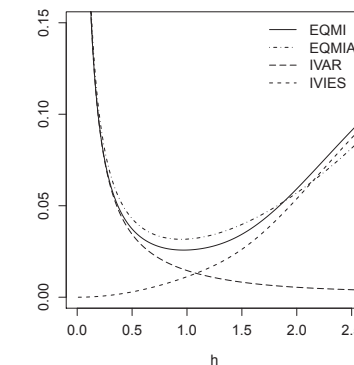
29 de Setembro de 2010

EQMI vs. EQMIA

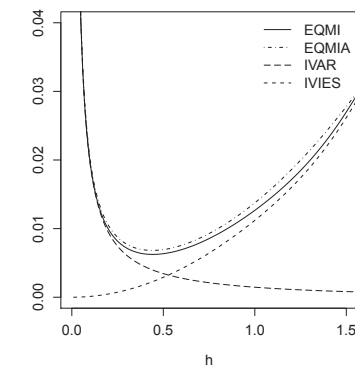
Estimação funcional
O estimador do histograma
Definição
Propriedades locais
Propriedades globais
EQMI
▷ Janela óptima
Influência da origem da partição
Escolha prática da janela
O polígono de frequências
O estimador do núcleo
Bibliografia

$N(0,1)$

$n = 50$



$n = 500$



XVIII Congresso da SPE, S. Pedro do Sul

29 de Setembro de 2010

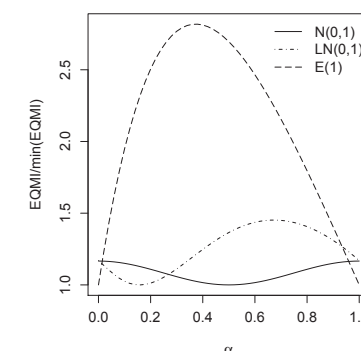
Influência da origem da partição

Estimação funcional
O estimador do histograma
Definição
Propriedades locais
Propriedades globais
EQMI
Janela óptima
▷ origem da partição
Escolha prática da janela
O polígono de frequências
O estimador do núcleo
Bibliografia

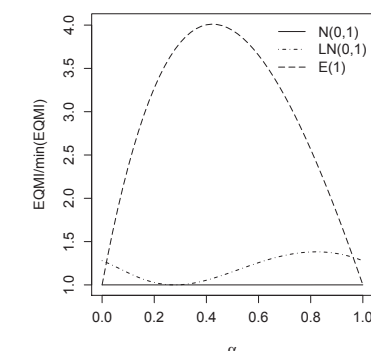
$h = h_{\text{EQMIA}}$

$\square a_{n,0} = \alpha h, \alpha \in [0, 1[$

$n = 10$



$n = 50$



XVIII Congresso da SPE, S. Pedro do Sul

29 de Setembro de 2010

Influência da origem da partição

- No caso da densidade exponencial $E(1)$, se

$$a_{n,0} = \alpha h, \alpha \in]0, 1[$$

o histograma não é assintoticamente sem-viés em $x = 0$:

$$\mathbb{E}\hat{f}_n(x) = \frac{1}{h} \int_0^{\alpha h} e^{-t} dt = \frac{1 - e^{-\alpha h}}{h} \rightarrow \alpha$$

- Além disso,

$$\text{IVIES}(\hat{f}_n) = \alpha(\alpha - 1)h_n + O(h_n^2)$$

Estimação funcional
O estimador do histograma
Definição
Propriedades locais
Propriedades globais
EQMI
Janela óptima
Influência da origem da partição
Escolha prática da janela
O polígono de frequências
O estimador do núcleo
Bibliografia

XVIII Congresso da SPE, S. Pedro do Sul

29 de Setembro de 2010

Janela com distribuição de referência normal

- Para uma vasta classe de densidades conhecemos a janela óptima no sentido da minimização do erro quadrático médio integrado assintótico:

$$h_{\text{EQMIA}} = (6/R(f'))^{1/3} n^{-1/3}.$$

- Scott (1979) propõe que se utilize a regra anterior onde $R(f')$ é calculada tomando para f a densidade da distribuição $N(0, \sigma^2)$:

$$h_{\text{EQMIA}} = 3.49 \sigma n^{-1/3}.$$



$$\hat{h}_{\text{NR}} = 3.49 \hat{s} n^{-1/3}$$

Estimação funcional
O estimador do histograma
Definição
Propriedades locais
Propriedades globais
EQMI
Janela óptima
Influência da origem da partição
Escolha prática da janela
O polígono de frequências
O estimador do núcleo
Bibliografia

XVIII Congresso da SPE, S. Pedro do Sul

29 de Setembro de 2010

Escolha prática de h_n

- Uma das mais conhecidas regras práticas para a escolha do tamanho da janela num histograma foi proposta por Sturges (1926):

$$\hat{h}_{\text{ST}} = \frac{\text{amplitude amostral}}{1 + \log_2 n}.$$

- Apesar do seu valor histórico, esta regra não é baseada num critério que tenha em conta a qualidade do histograma como estimador da densidade desconhecida f .
- Tendo em conta o que vimos atrás, esta janela conduzirá a um estimador com pouca variabilidade mas com viés elevado que produzirá estimativas demasiadamente suaves (*oversmoothing*).

Estimação funcional
O estimador do histograma
Definição
Propriedades locais
Propriedades globais
EQMI
Janela óptima
Influência da origem da partição
Escolha prática da janela
O polígono de frequências
O estimador do núcleo
Bibliografia

XVIII Congresso da SPE, S. Pedro do Sul

29 de Setembro de 2010

Janela com distribuição de referência normal

- No caso da distribuição normal com função de distribuição F

$$\sigma = \frac{F^{-1}(3/4) - F^{-1}(1/4)}{F_{N(0,1)}^{-1}(3/4) - F_{N(0,1)}^{-1}(1/4)} \approx \frac{\text{AIQ}}{1.349}$$

- Silverman (1986) propõe que o desvio-padrão σ seja estimado por

$$\sigma \approx \min \left(\hat{s}, \frac{\text{AIQ}}{1.349} \right)$$



$$\hat{h}_{\text{SIL}} = \min(3.49 \hat{s}, 2.59 \text{AIQ}) n^{-1/3}$$

Estimação funcional
O estimador do histograma
Definição
Propriedades locais
Propriedades globais
EQMI
Janela óptima
Influência da origem da partição
Escolha prática da janela
O polígono de frequências
O estimador do núcleo
Bibliografia

XVIII Congresso da SPE, S. Pedro do Sul

29 de Setembro de 2010

O método de validação cruzada

- O método de validação cruzada (*least-square cross-validation*) é proposto por Rudemo (1982) e Bowman (1984).
- O erro quadrático integrado, EQI, é tomado como medida da discrepância entre \hat{f}_n e a densidade desconhecida f :

$$EQI(h) = \|\hat{f}_n - f\|_2^2 = \int \{\hat{f}_n(x) - f(x)\}^2 dx$$

- A ideia é escolher a janela h que minimiza $EQI(h)$...
- Mas $EQI(h)$ depende de f ...

$$EQI(h) = R(\hat{f}_n) - 2 \int \hat{f}_n(x)f(x) dx + R(f)$$

?

O método de validação cruzada

- Contrariamente ao método das distribuições de referência, o método de validação cruzada produz janelas assintoticamente “boas” independentemente da distribuição dos dados.

Sob condições pouco restritivas sobre o f , \hat{h}_{CV} é assintoticamente óptima no sentido em que

$$\frac{EQI(\hat{h}_{CV})}{EQI(\hat{h}_{EQI})} \xrightarrow{qc} 1,$$

onde

$$\hat{h}_{EQI} = \operatorname{argmin}_{h>0} EQI(h).$$

(Stone, 1985)

O método de validação cruzada

$$EQI(h) = R(\hat{f}_n) - 2 \int \hat{f}_n(x)f(x) dx + R(f)$$

$$E(\hat{f}_n(X))$$

$$\frac{1}{n} \sum_{i=1}^n \hat{f}_{n,-i}(X_i)$$

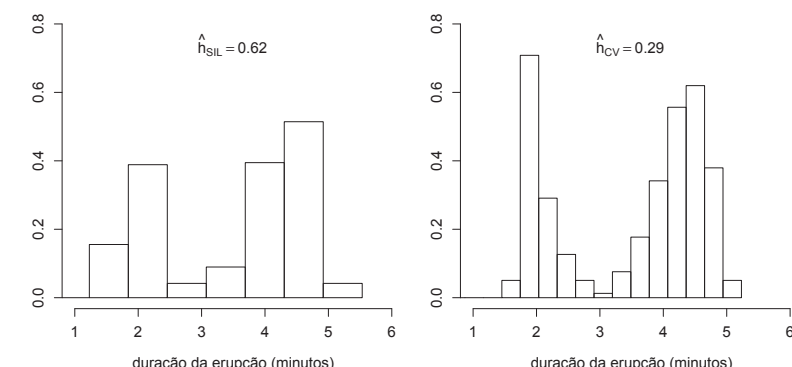
- Na prática toma-se para janela o valor \hat{h}_{CV} que minimiza

$$CV(h) = R(\hat{f}_n) - \frac{2}{n} \sum_{i=1}^n \hat{f}_{n,-i}(X_i)$$

Aplicação a um conjunto de dados

- Dados relativos a 272 erupções sucessivas do Old Faithful Geyser no Yellowstone National Park nos EUA.

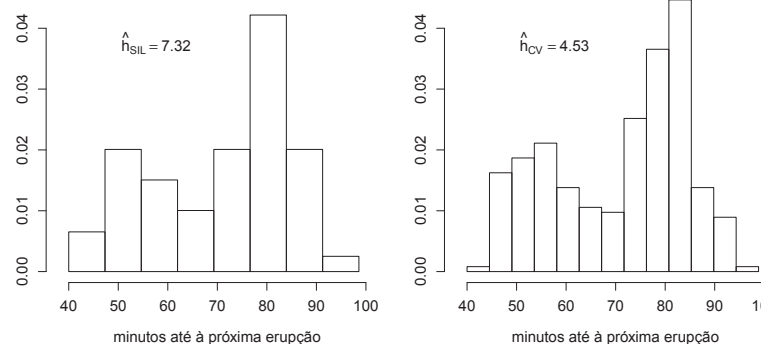
- $a_{n,0} = 0$, $\hat{h}_{SIL} = 0.62$, $\hat{h}_{CV} = 0.29$



Aplicação a um conjunto de dados

- Dados relativos a 272 erupções sucessivas do Old Faithful Geyser no Yellowstone National Park nos EUA.

$$\square a_{n,0} = 40, \hat{h}_{SIL} = 7.32, \hat{h}_{CV} = 4.53$$



Estimação funcional
O estimador do histograma
Definição
Propriedades locais
Propriedades globais
EQMI
Janela óptima
Influência da origem da partição
Escolha prática da janela
O polígono de frequências
O estimador do núcleo
Bibliografia

XVIII Congresso da SPE, S. Pedro do Sul

29 de Setembro de 2010

Ordem de convergência óptima

- Será ainda possível melhorar a ordem de convergência anterior?
- Existirá algum estimador da densidade cujo erro quadrático médio converja para zero com uma ordem superior a $n^{-4/5}$?
- Sendo $\mathcal{C}_{2\alpha}$ o conjunto das densidades f com derivada absolutamente contínua e cuja derivada de segunda ordem satisfaz $\|f''\|_\infty \leq \alpha$, temos

$$\limsup_{n \rightarrow \infty} \sup_{f \in \mathcal{C}_{2\alpha}} n^{4/5} \text{EQM}(\hat{g}_n(x)) < \infty$$

- Farrel (1972) estabelece que não existe um estimador da densidade cujo erro quadrático médio no ponto x converja para zero, **uniformemente no conjunto $\mathcal{C}_{2\alpha}$** , com uma ordem superior a $n^{-4/5}$.

XVIII Congresso da SPE, S. Pedro do Sul

29 de Setembro de 2010

O polígono de frequências

Para $x \in \mathbb{R}$, se f é derivável com $f' \in \mathcal{L}_x(1)$ então,

$$\text{EQM}(\hat{f}_n(x)) = \frac{1}{nh_n} f(x) + \frac{h_n^2}{4} f'(x)^2 (1 - 2(x - a_{n,j_x})/h_n)^2 + O(n^{-1}) + O(h_n^3).$$

- Para $h_n = cn^{-1/3}$, com $c > 0$, temos

$$\text{EQM}(\hat{f}_n(x)) = O(n^{-2/3})$$

- Para $h_n = cn^{-1/5}$, com $c > 0$, temos

$$\text{EQM}(\hat{g}_n(x)) = O(n^{-4/5})$$

XVIII Congresso da SPE, S. Pedro do Sul

29 de Setembro de 2010

Ordem de convergência óptima

- Para $k \in \mathbb{N}$, seja $\mathcal{C}_{k\alpha}$ o conjunto das densidades f com derivada absolutamente contínua de ordem $k - 1$ e cuja derivada de ordem k satisfaz $\|f^{(k)}\|_\infty \leq \alpha$.
- Farrel (1972) estabelece que não existe um estimador da densidade cujo erro quadrático médio no ponto x converja para zero, **uniformemente no conjunto $\mathcal{C}_{k\alpha}$** , com uma ordem superior a

$$n^{-2k/(2k+1)}$$

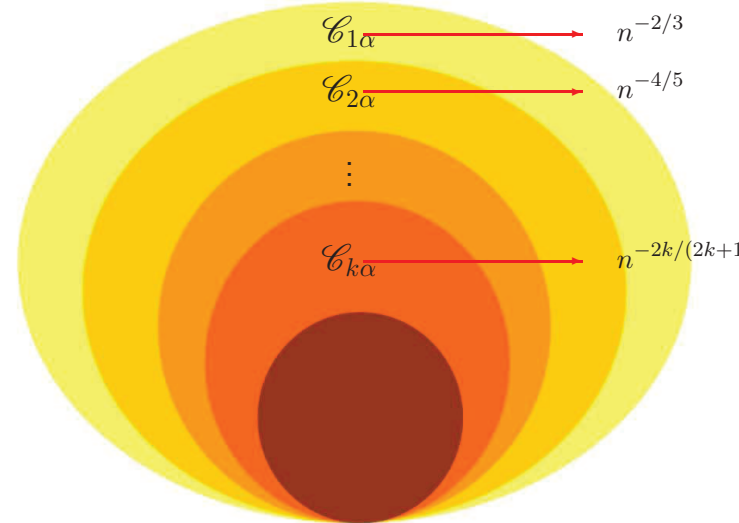
$$\mathcal{C}_{k\alpha} \longrightarrow n^{-2k/(2k+1)}$$

XVIII Congresso da SPE, S. Pedro do Sul

29 de Setembro de 2010

Ordem de convergência óptima

Estimação funcional
O estimador do histograma
Definição
Propriedades locais
Propriedades globais
EQMI
Janela óptima
Influência da origem da partição
Escolha prática da janela
O polígono de frequências
O estimador do núcleo
Bibliografia

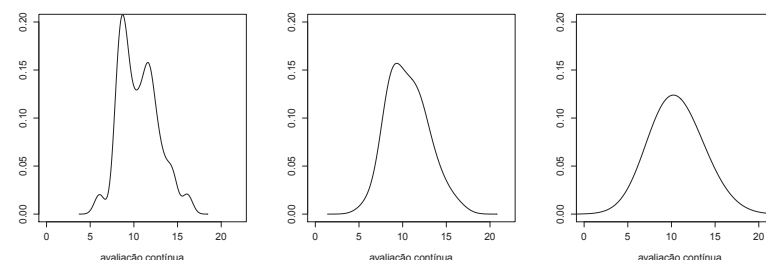


XVIII Congresso da SPE, S. Pedro do Sul

29 de Setembro de 2010

O estimador do núcleo

Estimação funcional
O estimador do histograma
O estimador do núcleo
Definição
Propriedades locais
Propriedades globais
EQMI
Janela óptima
Escolha do núcleo
Redução do viés
Escolha prática da janela
Núcleos de fronteira
O caso multivariado
Bibliografia



- Definição do estimador
- Propriedades locais e globais
- A escolha do núcleo
- Escolha prática da janela
- Núcleos de fronteira
- O caso multivariado

XVIII Congresso da SPE, S. Pedro do Sul

29 de Setembro de 2010

Estimação funcional
O estimador do histograma
O estimador do núcleo
Definição
Propriedades locais
Propriedades globais
EQMI
Janela óptima
Escolha do núcleo
Redução do viés
Escolha prática da janela
Núcleos de fronteira
O caso multivariado
Bibliografia

O estimador do núcleo

XVIII Congresso da SPE, S. Pedro do Sul

29 de Setembro de 2010

O estimador do núcleo

Estimação funcional
O estimador do histograma
O estimador do núcleo
Definição
Propriedades locais
Propriedades globais
EQMI
Janela óptima
Escolha do núcleo
Redução do viés
Escolha prática da janela
Núcleos de fronteira
O caso multivariado
Bibliografia

Estimador de Parzen-Rosenblatt:

$$f_n(x) = \frac{1}{n} \sum_{i=1}^n K_h(x - X_i)$$

onde

$$K_h(x) = K(x/h)/h$$

Núcleo	Janela
K	$h = h_n$
$\int K(u)du = 1$	$h \rightarrow 0$

XVIII Congresso da SPE, S. Pedro do Sul

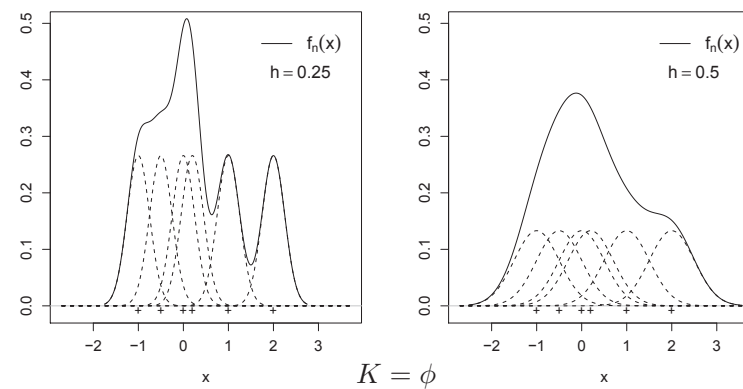
29 de Setembro de 2010

O estimador do núcleo

Estimação funcional
O estimador do histograma
O estimador do núcleo
▷ Definição
Propriedades locais
Propriedades globais
EQMI
Janela óptima
Escolha do núcleo
Redução do viés
Escolha prática da janela
Núcleos de fronteira
O caso multivariado
Bibliografia

- Estimador de Parzen-Rosenblatt:

$$f_n(x) = \frac{1}{n} \sum_{i=1}^n K_h(x - X_i)$$



XVIII Congresso da SPE, S. Pedro do Sul

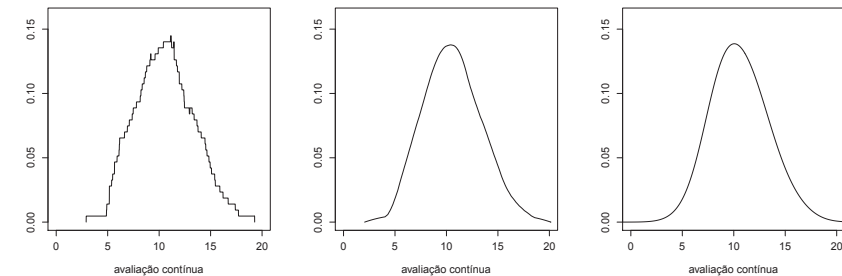
29 de Setembro de 2010

O estimador do núcleo

Estimação funcional
O estimador do histograma
O estimador do núcleo
▷ Definição
Propriedades locais
Propriedades globais
EQMI
Janela óptima
Escolha do núcleo
Redução do viés
Escolha prática da janela
Núcleos de fronteira
O caso multivariado
Bibliografia

- Quando K é uma densidade de probabilidade, habitualmente tomada simétrica relativamente à origem, f_n é também uma densidade de probabilidade.

- As propriedades de regularidade do núcleo são transferidas para f_n :



XVIII Congresso da SPE, S. Pedro do Sul

29 de Setembro de 2010

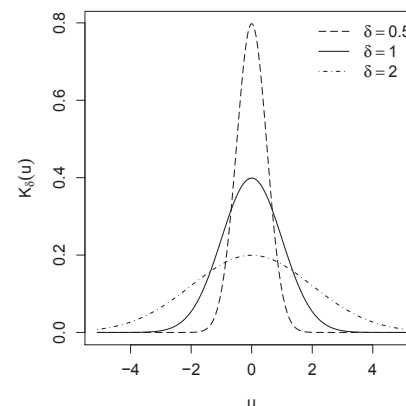
Mudança de escala

Estimação funcional
O estimador do histograma
O estimador do núcleo
▷ Definição
Propriedades locais
Propriedades globais
EQMI
Janela óptima
Escolha do núcleo
Redução do viés
Escolha prática da janela
Núcleos de fronteira
O caso multivariado
Bibliografia

- Para um valor $\delta > 0$, a função definida a partir de K por

$$K_\delta(u) = K(u/\delta)/\delta$$

é também um núcleo.



XVIII Congresso da SPE, S. Pedro do Sul

29 de Setembro de 2010

Mudança de escala

Estimação funcional
O estimador do histograma
O estimador do núcleo
▷ Definição
Propriedades locais
Propriedades globais
EQMI
Janela óptima
Escolha do núcleo
Redução do viés
Escolha prática da janela
Núcleos de fronteira
O caso multivariado
Bibliografia

$$f_n(x; h, K) = \frac{1}{n} \sum_{i=1}^n K_h(x - X_i)$$

$$K \xrightarrow{\textcolor{red}{\downarrow}} K_\delta$$

$$f_n(x; h, K_\delta) = \frac{1}{n} \sum_{i=1}^n K_{\delta h}(x - X_i) = f_n(x; \delta h, K)$$

- Quando comparamos núcleos é habitual tomar a escala δ de modo que

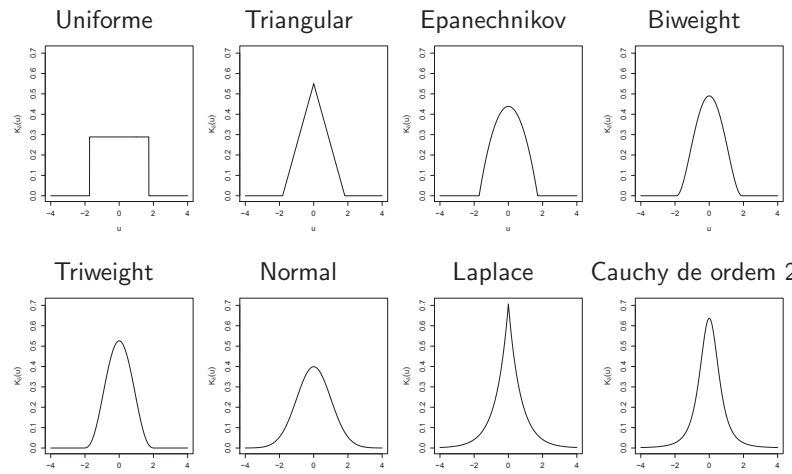
$$m_2(K_\delta) = \int u^2 K_\delta(u) du = 1$$

XVIII Congresso da SPE, S. Pedro do Sul

29 de Setembro de 2010

Exemplos de núcleos

Estimação funcional
O estimador do histograma
O estimador do núcleo
▷ Definição
Propriedades locais
Propriedades globais
EQMI
Janela óptima
Escolha do núcleo
Redução do viés
Escolha prática da janela
Núcleos de fronteira
O caso multivariado
Bibliografia



XVIII Congresso da SPE, S. Pedro do Sul

29 de Setembro de 2010

Exemplos de núcleos

Estimação funcional
O estimador do histograma
O estimador do núcleo
▷ Definição
Propriedades locais
Propriedades globais
EQMI
Janela óptima
Escolha do núcleo
Redução do viés
Escolha prática da janela
Núcleos de fronteira
O caso multivariado
Bibliografia

Núcleo	$K(u)$
Uniforme	$\frac{1}{2}I(u \leq 1)$
Triangular	$(1 - u)I(u \leq 1)$
Epanechnikov	$\frac{3}{4}(1 - u^2)I(u \leq 1)$
Biweight	$\frac{15}{16}(1 - u^2)^2I(u \leq 1)$
Triweight	$\frac{35}{32}(1 - u^2)^3I(u \leq 1)$
Normal	$(2\pi)^{-1/2} \exp(-u^2/2)$
Laplace	$\exp(- u)/2$
Cauchy de ordem 2	$2\pi^{-1}(1 + u^2)^{-2}$

Viés do estimador

Estimação funcional
O estimador do histograma
O estimador do núcleo
Definição
▷ Propriedades locais
Propriedades globais
EQMI
Janela óptima
Escolha do núcleo
Redução do viés
Escolha prática da janela
Núcleos de fronteira
O caso multivariado
Bibliografia

□ Para $x \in \mathbb{R}$,

$$\text{Ef}_n(x) = \int K_h(x - y)f(y)dy = K_h * f(x)$$

Se o núcleo K é limitado, f é contínua em $x \in \mathbb{R}$, $h = h_n \rightarrow 0$ e uma das condições seguintes é satisfeita

a) f é limitada;

b) $\lim_{|x| \rightarrow +\infty} xK(x) = 0$; Núcleo de Parzen-Rosenblatt
então

$$K_h * f(x) \rightarrow f(x).$$

Além disso, se f é limitada e $f \in \mathcal{U}$ então

$$\|K_h * f - f\|_\infty \rightarrow 0.$$

(Bochner, 1955)

Viés do estimador

Estimação funcional
O estimador do histograma
O estimador do núcleo
Definição
▷ Propriedades locais
Propriedades globais
EQMI
Janela óptima
Escolha do núcleo
Redução do viés
Escolha prática da janela
Núcleos de fronteira
O caso multivariado
Bibliografia

Se f é contínua em $x \in \mathbb{R}$ e $h = h_n \rightarrow 0$ então

$$\text{Ef}_n(x) \rightarrow f(x).$$

$$\begin{aligned} \text{Viés } f_n(x) &= K_h * f(x) - f(x) \\ &= \int K(z)(f(x - zh_n) - f(x))dz, \end{aligned}$$

□ Se $f \in \mathcal{L}_x(\alpha)$ concluímos que

$$\text{Viés } f_n(x) = O(h_n^\alpha)$$

XVIII Congresso da SPE, S. Pedro do Sul

29 de Setembro de 2010

XVIII Congresso da SPE, S. Pedro do Sul

29 de Setembro de 2010

Viés do estimador

- Se $f' \in \mathcal{L}_x(\alpha)$ concluímos que

$$\text{Viés } f_n(x) = -h_n f'(x) \int y K(y) dy + O(h_n^{\alpha+1})$$

- Se $m_1(K) := \int u K(u) du = 0$, o viés do estimador do núcleo é de ordem inferior ao do histograma.

Se f'' é limitada e contínua em \mathbb{R} e $h_n \rightarrow 0$ então

$$\text{Viés } f_n(x) = \frac{h_n^2}{2} m_2(K) f''(x) + o(h_n^2).$$

Estimação funcional
O estimador do histograma
O estimador do núcleo
Definição
▷ Propriedades locais
Propriedades globais
EQMI
Janela óptima
Escolha do núcleo
Redução do viés
Escolha prática da janela
Núcleos de fronteira
O caso multivariado
Bibliografia

Convergência L_∞

- Pretendemos obter condições sobre f e h_n que assegurem a convergência

$$\|f_n - f\|_\infty \xrightarrow{qc} 0.$$

- Utilizamos a desigualdade

$$\|f_n - f\|_\infty \leq \|f_n - E f_n\|_\infty + \|E f_n - f\|_\infty$$

onde

$$\|E f_n - f\|_\infty = \|K_h * f - f\|_\infty \rightarrow 0$$

sempre que $f \in \mathcal{U}$.

Estimação funcional
O estimador do histograma
O estimador do núcleo
Definição
Propriedades locais
Propriedades globais
▷ globais
EQMI
Janela óptima
Escolha do núcleo
Redução do viés
Escolha prática da janela
Núcleos de fronteira
O caso multivariado
Bibliografia

Erro quadrático médio

Se f' e f'' são limitadas e contínuas em \mathbb{R} e $h_n \rightarrow 0$ então

$$\begin{aligned} \text{EQM}(f_n(x)) &= \frac{1}{nh_n} R(K) f(x) + \frac{h_n^4}{4} m_2^2(K) f''(x)^2 \\ &\quad + O(n^{-1}) + o(h_n^4). \end{aligned}$$

- A maior ordem de convergência é obtida quando

$$h_n = c n^{-1/5}, \text{ com } c > 0,$$

caso em que

$$f_n(x) - f(x) = O_p(n^{-2/5}).$$

Convergência L_∞

- No caso do estimador da janela móvel (núcleo uniforme $K(u) = \frac{1}{2}I(|u| \leq 1)$)

$$f_n(x) = \frac{F_n(x+h) - F_n(x-h)}{2h}$$

podemos usar os argumentos usados para o histograma:

$$\|f_n - E f_n\|_\infty \leq \frac{1}{h} \|F_n - F\|_\infty$$

Se $f \in \mathcal{U}$, $h_n \rightarrow 0$ e $nh_n^2 / \log \log n \rightarrow +\infty$ então

$$\|f_n - f\|_\infty \xrightarrow{qc} 0.$$

(Nadaraya, 1965)

Convergência L_∞

- Uma análise mais fina do termo do termo aleatório $\|f_n - \mathbb{E}f_n\|_\infty$ permite melhorar o resultado anterior.
- As condições anteriores sobre h_n podem ser ainda enfraquecidas:

Se $h_n \rightarrow 0$ então as seguintes proposições são equivalentes:

- $nh_n / \log n \rightarrow +\infty$;
- $\forall f \in \mathcal{U} \quad \|f_n - f\|_\infty \xrightarrow{p} 0$;
- $\forall f \in \mathcal{U} \quad \|f_n - f\|_\infty \xrightarrow{qc} 0$.

(Bertrand-Retali, 1974)

Estimação funcional
O estimador do histograma
O estimador do núcleo
Definição
Propriedades locais
Propriedades globais
▷ globais
EQMI
Janela óptima
Escolha do núcleo
Redução do viés
Escolha prática da janela
Núcleos de fronteira
O caso multivariado

Bibliografia

EQMI e EQMIA

Estimação funcional
O estimador do histograma
O estimador do núcleo
Definição
Propriedades locais
Propriedades globais
▷ EQMI
Janela óptima
Escolha do núcleo
Redução do viés
Escolha prática da janela
Núcleos de fronteira
O caso multivariado

Bibliografia

Sejam K um núcleo de quadrado integrável com $m_1(K) = 0$ e $\int z^2 |K(z)| dz < \infty$, e f com derivada de segunda ordem contínua e f e f'' de quadrado integrável. Se $h_n \rightarrow 0$ então

$$\text{IVAR}(f_n) = \frac{1}{nh_n} R(K) + O(n^{-1}),$$

$$\text{IVIES}(f_n) = \frac{h_n^4}{4} m_2^2(K) R(f'') + o(h_n^4)$$

e

$$\text{EQMI}(f_n) = \frac{1}{nh_n} R(K) + \frac{h_n^4}{4} m_2^2(K) R(f'') + O(n^{-1}) + o(h_n^4).$$

(Rosenblatt, 1956; Epanechnikov, 1969) EQMIA

Convergência L_1

As proposições seguintes são equivalentes:

- $h_n \rightarrow 0, nh_n \rightarrow +\infty$;
- $\forall f \in \mathcal{F} \quad \|f_n - f\|_1 \xrightarrow{p} 0$;
- $\forall f \in \mathcal{F} \quad \|f_n - f\|_1 \xrightarrow{qc} 0$;
- $\exists f \in \mathcal{F} \quad \|f_n - f\|_1 \xrightarrow{qc} 0$.

(Abou-Jaoudé, 1977; Devroye, 1983)

Estimação funcional
O estimador do histograma
O estimador do núcleo
Definição
Propriedades locais
Propriedades globais
▷ globais
EQMI
Janela óptima
Escolha do núcleo
Redução do viés
Escolha prática da janela
Núcleos de fronteira
O caso multivariado

Bibliografia

- O estimador do núcleo converge para todo o $f \in \mathcal{F}$, ou então não converge para nenhum $f \in \mathcal{F}$.
- Não existem casos intermédios.

Janela assintoticamente óptima

Estimação funcional
O estimador do histograma
O estimador do núcleo
Definição
Propriedades locais
Propriedades globais
EQMI
▷ Janela óptima
Escolha do núcleo
Redução do viés
Escolha prática da janela
Núcleos de fronteira
O caso multivariado

Bibliografia

Se f é tal que $R(f'') > 0$, o valor de h_n que minimiza o EQMIA(K, h_n) é dado por

$$h_{\text{EQMIA}} = c_K R(f'')^{-1/5} n^{-1/5},$$

onde

$$c_K = (R(K)/m_2^2(K))^{1/5}.$$

- A maior ordem de convergência ocorre quando tomamos

$$h_n = c n^{-1/5}, \text{ com } c > 0,$$

obtendo-se neste caso

$$\text{EQMI}(\hat{f}_n) = O(n^{-4/5}).$$

EQMI vs. EQMIA

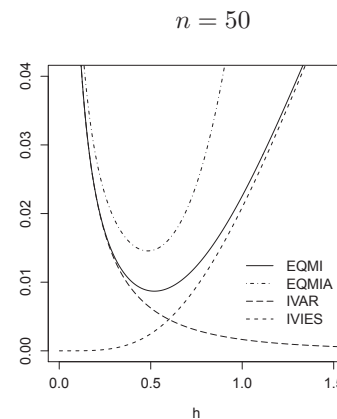
Estimação funcional
O estimador do histograma

O estimador do núcleo

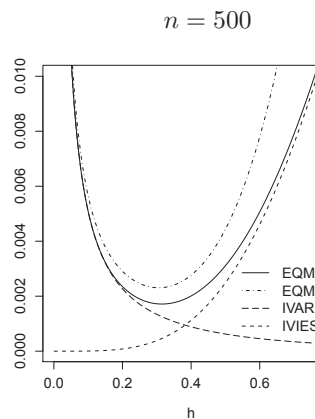
Definição
Propriedades locais
Propriedades globais
EQMI
▷ Janela óptima
Escolha do núcleo
Redução do viés
Escolha prática da janela
Núcleos de fronteira
O caso multivariado

Bibliografia

$N(0,1)$



$n = 50$



$n = 500$

EQMI vs. EQMIA

Estimação funcional
O estimador do histograma

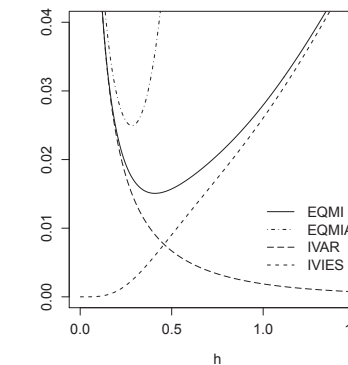
O estimador do núcleo

Definição
Propriedades locais
Propriedades globais
EQMI
▷ Janela óptima
Escolha do núcleo
Redução do viés
Escolha prática da janela
Núcleos de fronteira
O caso multivariado

Bibliografia

$\frac{3}{4}N(0,1) + \frac{1}{4}N(\frac{3}{2}, \frac{1}{9})$

$n = 50$



$n = 500$

XVIII Congresso da SPE, S. Pedro do Sul

29 de Setembro de 2010

XVIII Congresso da SPE, S. Pedro do Sul

29 de Setembro de 2010

Eficiência relativamente ao polígono de frequências

- Comparando os EQMIA com janela óptima associados ao polígono de frequências e ao estimador do núcleo obtemos a relação

$$EQMIA(h_{EQMIA}) = \Psi(K) EQMIA(K, h_{EQMIA}),$$

onde

$$\Psi(K) = \frac{1}{3} \left(\frac{49}{15R(K)^4 m_2^2(K)} \right)^{1/5} \cdot \frac{n}{nK}$$

$K(u)$	$(\Psi(K))^{5/4}$	$K(u)$	$(\Psi(K))^{5/4}$
Uniforme	1.180	Triangular	1.251
Epanechnikov	1.269	Biweight	1.261
Triweight	1.252	Normal	1.207
Laplace	0.963	Cauchy de ord. 2	0.856

XVIII Congresso da SPE, S. Pedro do Sul

29 de Setembro de 2010

Núcleo óptimo

- A escolha do núcleo óptimo é feita a partir do EQMIA com escolha óptima da janela

$$EQMIA(K, h_{EQMIA}) = \frac{5}{4} R(K)^{4/5} m_2(K)^{2/5} R(f'')^{1/5} n^{-4/5}$$

- Denotando por \mathcal{N} a classe dos núcleos limitados, simétricos e não negativos K com $\int u^2 K(u) du < \infty$, pretendemos minimizar

$$\int K(u)^2 du$$

sujeito às condições

$$K \in \mathcal{N} \text{ e } m_2(K) = a^2,$$

onde $a \neq 0$ é fixado à partida.

XVIII Congresso da SPE, S. Pedro do Sul

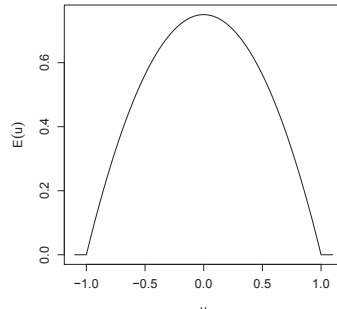
29 de Setembro de 2010

Núcleo óptimo

Estimação funcional
O estimador do histograma
O estimador do núcleo
Definição
Propriedades locais
Propriedades globais
EQMI
Janela óptima
▷ Escolha do núcleo
Redução do viés
Escolha prática da janela
Núcleos de fronteira
O caso multivariado
Bibliografia

Núcleo óptimo:

$$E(x) = \frac{3}{4} (1 - x^2) I(|x| \leq 1).$$



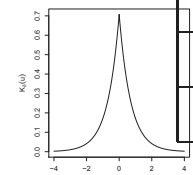
(Hodges e Lehmann, 1956; Bartlett, 1963; Epanechnikov, 1969)

XVIII Congresso da SPE, S. Pedro do Sul

29 de Setembro de 2010

Eficiência de outros núcleos

Estimação funcional
O estimador do histograma
O estimador do núcleo
Definição
Propriedades locais
Propriedades globais
EQMI
Janela óptima
▷ Escolha do núcleo
Redução do viés
Escolha prática da janela
Núcleos de fronteira
O caso multivariado
Bibliografia



$K(u)$	$(\Phi(E)/\Phi(K))^{5/4}$
Uniforme	0.930
Triangular	0.986
Epanechnikov	1.000
Biweight	0.994
Triweight	0.987
Normal	0.951
Laplace	0.759
Cauchy de ordem 2	0.674

XVIII Congresso da SPE, S. Pedro do Sul

29 de Setembro de 2010

Eficiência de outros núcleos

Estimação funcional
O estimador do histograma
O estimador do núcleo
Definição
Propriedades locais
Propriedades globais
EQMI
Janela óptima
▷ Escolha do núcleo
Redução do viés
Escolha prática da janela
Núcleos de fronteira
O caso multivariado
Bibliografia

- Os erros quadráticos médios integrados associados aos estimadores com núcleos K e E e janelas assintoticamente ótimas, estão relacionados pela igualdade

$$\text{EQMIA}(E, h_{\text{EQMIA}}(E)) = \frac{\Phi(E)}{\Phi(K)} \text{EQMIA}(K, h_{\text{EQMIA}}(K)).$$

com

$$\Phi(K) = R(K)^{4/5} m_2(K)^{2/5}.$$

- O quociente

$$\left(\frac{\Phi(E)}{\Phi(K)}\right)^{5/4} = \frac{n}{n_K}$$

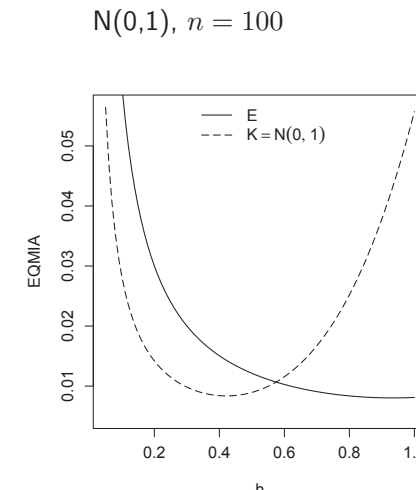
traduz a eficiência do estimador com núcleo K relativamente ao estimador com núcleo óptimo E .

XVIII Congresso da SPE, S. Pedro do Sul

29 de Setembro de 2010

Núcleos equivalentes

Estimação funcional
O estimador do histograma
O estimador do núcleo
Definição
Propriedades locais
Propriedades globais
EQMI
Janela óptima
▷ Escolha do núcleo
Redução do viés
Escolha prática da janela
Núcleos de fronteira
O caso multivariado
Bibliografia



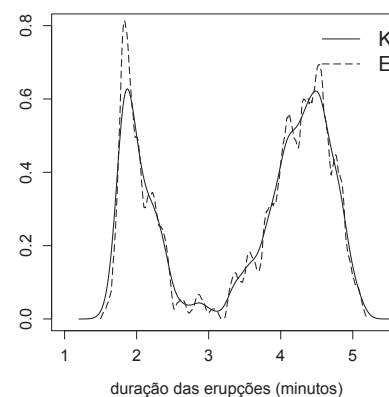
XVIII Congresso da SPE, S. Pedro do Sul

29 de Setembro de 2010

Núcleos equivalentes

Estimação funcional
 O estimador do histograma
O estimador do núcleo
 Definição
 Propriedades locais
 Propriedades globais
 EQMI
 Janela óptima
 ▷ Escolha do núcleo
 Redução do viés
 Escolha prática da janela
 Núcleos de fronteira
 O caso multivariado
 Bibliografia

$$K=N(0,1), h = 0.1$$



XVIII Congresso da SPE, S. Pedro do Sul

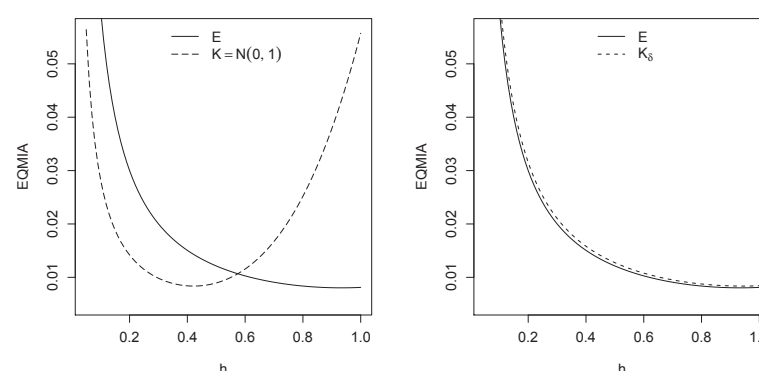
29 de Setembro de 2010

Núcleos equivalentes

Estimação funcional
 O estimador do histograma
O estimador do núcleo
 Definição
 Propriedades locais
 Propriedades globais
 EQMI
 Janela óptima
 ▷ Escolha do núcleo
 Redução do viés
 Escolha prática da janela
 Núcleos de fronteira
 O caso multivariado
 Bibliografia

$$(E, h) \longleftrightarrow (K_\delta, h)$$

$$N(0,1), n = 100$$



XVIII Congresso da SPE, S. Pedro do Sul

29 de Setembro de 2010

Núcleos equivalentes

Estimação funcional
 O estimador do histograma
O estimador do núcleo
 Definição
 Propriedades locais
 Propriedades globais
 EQMI
 Janela óptima
 ▷ Escolha do núcleo
 Redução do viés
 Escolha prática da janela
 Núcleos de fronteira
 O caso multivariado
 Bibliografia

- Uma primeira forma de atenuar o efeito da escolha do núcleo é a de substituir o núcleo K pela mudança de escala K_δ de modo que os núcleos E e K_δ tenham a mesma variabilidade.

- A escala δ é assim determinada pela condição

$$m_2(K_\delta) = m_2(E),$$

ou seja,

$$\delta = \left(\frac{m_2(E)}{m_2(K)} \right)^{1/2}$$

$$(E, h) \longleftrightarrow (K_\delta, h)$$

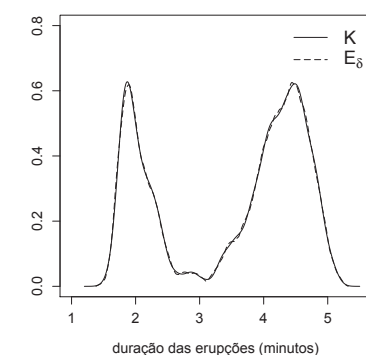
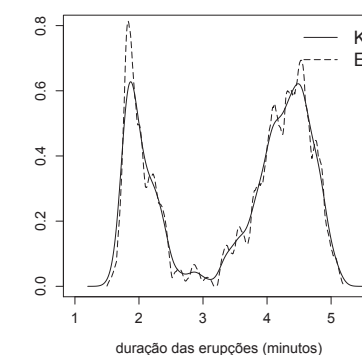
XVIII Congresso da SPE, S. Pedro do Sul

29 de Setembro de 2010

Núcleos equivalentes

Estimação funcional
 O estimador do histograma
O estimador do núcleo
 Definição
 Propriedades locais
 Propriedades globais
 EQMI
 Janela óptima
 ▷ Escolha do núcleo
 Redução do viés
 Escolha prática da janela
 Núcleos de fronteira
 O caso multivariado
 Bibliografia

$$K = N(0, 1), h = 0.1$$



$$\delta = \left(\frac{m_2(K)}{m_2(E)} \right)^{1/2} = 2.236$$

XVIII Congresso da SPE, S. Pedro do Sul

29 de Setembro de 2010

Núcleos canónicos

[Estimação funcional](#)
[O estimador do histograma](#)
[O estimador do núcleo](#)
[Definição](#)
[Propriedades locais](#)
[Propriedades globais](#)
[EQMI](#)
[Janela óptima](#)
[Escolha do núcleo](#)
[Redução do viés](#)
[Escolha prática da janela](#)
[Núcleos de fronteira](#)
[O caso multivariado](#)
[Bibliografia](#)

$$K \downarrow \\ K_{\delta(K)} \uparrow$$

$$\delta(K) = (R(K)/m_2^2(K))^{1/5}$$

$$\text{EQMIA}(K_{\delta(K)}, h) \approx \text{EQMIA}(E_{\delta(E)}, h),$$

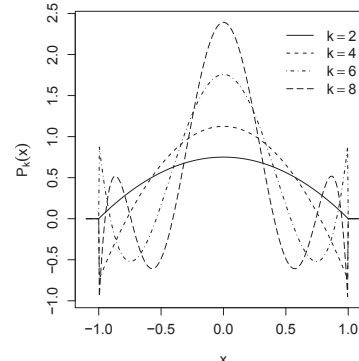
(Marron e Nolan, 1989)

XVIII Congresso da SPE, S. Pedro do Sul

29 de Setembro de 2010

Núcleos de ordem k

[Estimação funcional](#)
[O estimador do histograma](#)
[O estimador do núcleo](#)
[Definição](#)
[Propriedades locais](#)
[Propriedades globais](#)
[EQMI](#)
[Janela óptima](#)
[Escolha do núcleo](#)
[Redução do viés](#)
[Escolha prática da janela](#)
[Núcleos de fronteira](#)
[O caso multivariado](#)
[Bibliografia](#)



XVIII Congresso da SPE, S. Pedro do Sul

29 de Setembro de 2010

Redução do viés

[Estimação funcional](#)
[O estimador do histograma](#)
[O estimador do núcleo](#)
[Definição](#)
[Propriedades locais](#)
[Propriedades globais](#)
[EQMI](#)
[Janela óptima](#)
[Escolha do núcleo](#)
[Redução do viés](#)
[Escolha prática da janela](#)
[Núcleos de fronteira](#)
[O caso multivariado](#)
[Bibliografia](#)

- Viés do estimador do núcleo:

$$\text{Viés } f_n(x) = \int K(z)(f(x - zh) - f(x))dz$$

- Usando a fórmula de Taylor podemos obter o desenvolvimento

$$\begin{aligned} \text{Viés } f_n(x) &= \sum_{\ell=1}^{k-1} (-1)^{\ell} \frac{h^{\ell}}{\ell!} m_{\ell}(K) f^{(\ell)}(x) \\ &\quad + h^k \int \int_0^1 z^k K(z) \frac{(1-t)^{k-1}}{(k-1)!} f^{(k)}(x - tzh) dt dz, \end{aligned}$$

onde

$$m_{\ell}(K) = \int u^{\ell} K(u) du,$$

é o momento de ordem ℓ do núcleo K .

XVIII Congresso da SPE, S. Pedro do Sul

29 de Setembro de 2010

Análise do viés

[Estimação funcional](#)
[O estimador do histograma](#)
[O estimador do núcleo](#)
[Definição](#)
[Propriedades locais](#)
[Propriedades globais](#)
[EQMI](#)
[Janela óptima](#)
[Escolha do núcleo](#)
[Redução do viés](#)
[Escolha prática da janela](#)
[Núcleos de fronteira](#)
[O caso multivariado](#)
[Bibliografia](#)

Sejam K um núcleo simétrico de ordem k e f com derivada de ordem p contínua e limitada em \mathbb{R} . Para $x \in \mathbb{R}$, se $h_n \rightarrow 0$ então

$$\text{Viés } f_n(x) = \frac{h_n^r}{r!} m_r(K) f^{(r)}(x) + o(h_n^r),$$

onde

$$r = \min\{k, p\}.$$

Além disso, se $f^{(r)}$ é de quadrado integrável temos

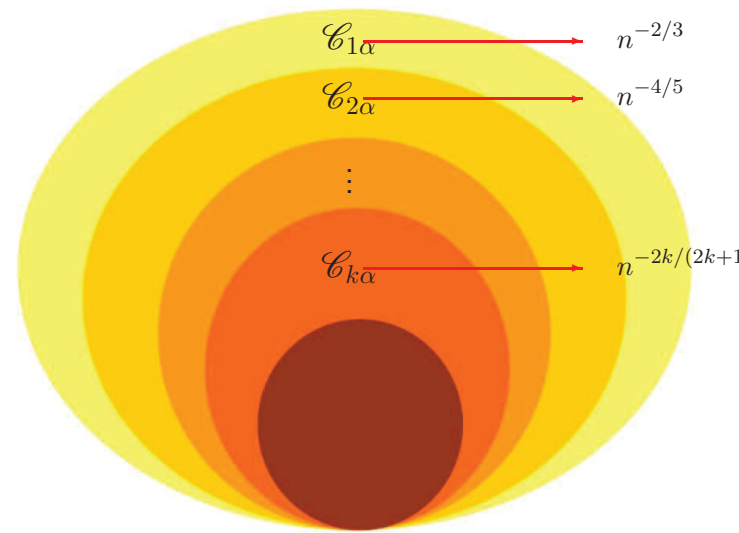
$$\text{IVIES}(f_n) = \frac{h_n^{2r}}{(r!)^2} m_r^2(K) R(f^{(r)}) + o(h_n^{2r}).$$

XVIII Congresso da SPE, S. Pedro do Sul

29 de Setembro de 2010

Ordem de convergência óptima

Estimação funcional
O estimador do histograma
O estimador do núcleo
Definição
Propriedades locais
Propriedades globais
EQMII
Janela óptima
Escolha do núcleo
▷ Redução do viés
Escolha prática da janela
Núcleos de fronteira
O caso multivariado
Bibliografia

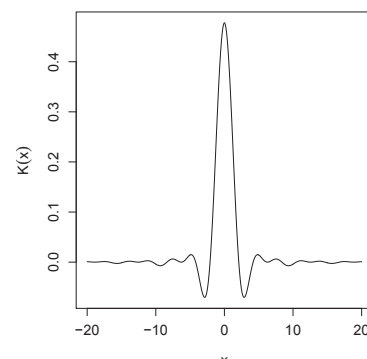


XVIII Congresso da SPE, S. Pedro do Sul

29 de Setembro de 2010

Supernúcleos

- Os supernúcleos, que são caracterizados pelo facto de possuírem uma função característica constante numa vizinhança da origem, possuem a propriedade anterior.
- Supernúcleo trapezoidal: $K(x) = \frac{\cos(x) - \cos(2x)}{\pi x^2}$



XVIII Congresso da SPE, S. Pedro do Sul

29 de Setembro de 2010

Supernúcleos

Estimação funcional
O estimador do histograma
O estimador do núcleo
Definição
Propriedades locais
Propriedades globais
EQMII
Janela óptima
Escolha do núcleo
▷ Redução do viés
Escolha prática da janela
Núcleos de fronteira
O caso multivariado
Bibliografia

- Ao fixarmos a ordem k do núcleo, estamos a limitar a ordem de convergência do viés do estimador do núcleo para densidades que possam admitir derivadas contínuas e limitadas para além da ordem k :

$$\text{Viés } f_n(x) = O(h_n^{\min\{k,p\}})$$

- Esta limitação seria evitada se o núcleo K admitisse momentos nulos de todas as ordens:

$$\text{Viés } f_n(x) = O(h_n^p)$$

XVIII Congresso da SPE, S. Pedro do Sul

29 de Setembro de 2010

Janela com distribuição de referência normal

Estimação funcional
O estimador do histograma
O estimador do núcleo
Definição
Propriedades locais
Propriedades globais
EQMII
Janela óptima
Escolha do núcleo
▷ Redução do viés
Escolha prática da janela
Núcleos de fronteira
O caso multivariado
Bibliografia

- Para uma vasta classe de densidades conhecemos, a menos da quantidade $R(f'')$, a janela óptima no sentido da minimização do EQMIA:

$$h_{\text{EQMIA}} = c_K R(f'')^{-1/5} n^{-1/5}$$

onde

$$c_K = (R(K)/m_2^2(K))^{1/5}$$

- Deheuvels (1977) e Deheuvels e Hominal (1980) propõem que se utilize a distribuição normal como distribuição de referência:

$$h_{\text{EQMIA}} = c_K \left(\frac{8\sqrt{\pi}}{3} \right)^{1/5} \sigma n^{-1/5} \approx 1.36 c_K \sigma n^{-1/5}$$

XVIII Congresso da SPE, S. Pedro do Sul

29 de Setembro de 2010

Janela com distribuição de referência normal

[Estimação funcional](#)
[O estimador do histograma](#)
[O estimador do núcleo](#)
[Definição](#)
[Propriedades locais](#)
[Propriedades globais](#)
[EQMI](#)
[Janela óptima](#)
[Escolha do núcleo](#)
[Redução do viés](#)
[Escolha prática da janela](#)
[Núcleos de fronteira](#)
[O caso multivariado](#)
[Bibliografia](#)

$$\hat{h}_{NR} = 1.36 c_K \hat{s} n^{-1/5}$$

- Silverman (1986) sugere que se estime a escala da distribuição pelo estimador combinado

$$\hat{\sigma}_{SIL} = \min(\hat{s}, \hat{A}\hat{Q}/1.349)$$

dando origem à janela

$$\hat{h}_{SIL} = \min(1.36 \hat{s}, 1.01 \hat{A}\hat{Q}) c_k n^{-1/5}$$

O método de validação cruzada

[Estimação funcional](#)
[O estimador do histograma](#)
[O estimador do núcleo](#)
[Definição](#)
[Propriedades locais](#)
[Propriedades globais](#)
[EQMI](#)
[Janela óptima](#)
[Escolha do núcleo](#)
[Redução do viés](#)
[Escolha prática da janela](#)
[Núcleos de fronteira](#)
[O caso multivariado](#)
[Bibliografia](#)

$$EQI(h) = R(f_n) - 2 \int f_n(x)f(x) dx + R(f)$$

\downarrow

$$\frac{1}{n} \sum_{i=1}^n f_{n,-i}(X_i)$$

- Na prática toma-se para janela o valor \hat{h}_{CV} que minimiza

$$\begin{aligned} CV(h) &= R(f_n) - \frac{2}{n} \sum_{i=1}^n f_{n,-i}(X_i) \\ &= \frac{R(K)}{nh} + \frac{1}{n(n-1)} \sum_{i \neq j} \left(\frac{n-1}{n} K_h * K_h - 2K_h \right) (X_i - X_j) \end{aligned}$$

O método de validação cruzada

[Estimação funcional](#)
[O estimador do histograma](#)
[O estimador do núcleo](#)
[Definição](#)
[Propriedades locais](#)
[Propriedades globais](#)
[EQMI](#)
[Janela óptima](#)
[Escolha do núcleo](#)
[Redução do viés](#)
[Escolha prática da janela](#)
[Núcleos de fronteira](#)
[O caso multivariado](#)
[Bibliografia](#)

- O método de validação cruzada (*least-square cross-validation*) é proposto por Rudemo (1982) e Bowman (1984).

- O erro quadrático integrado, EQI, é tomado como medida da discrepância entre f_n e a densidade desconhecida f :

$$EQI(h) = \|f_n - f\|_2^2 = \int \{f_n(x) - f(x)\}^2 dx$$

- A ideia é escolher a janela h que minimiza $EQI(h)$...

- Mas $EQI(h)$ depende de f ...

$$EQI(h) = R(f_n) - 2 \int f_n(x)f(x) dx + R(f)$$

?

O método de validação cruzada

[Estimação funcional](#)
[O estimador do histograma](#)
[O estimador do núcleo](#)
[Definição](#)
[Propriedades locais](#)
[Propriedades globais](#)
[EQMI](#)
[Janela óptima](#)
[Escolha do núcleo](#)
[Redução do viés](#)
[Escolha prática da janela](#)
[Núcleos de fronteira](#)
[O caso multivariado](#)
[Bibliografia](#)

- Contrariamente ao método das distribuições de referência, o método de validação cruzada produz janelas assintoticamente “boas” independentemente da distribuição dos dados.

Sob condições pouco restritivas sobre o núcleo e sobre f , \hat{h}_{CV} é assintoticamente óptima no sentido em que

$$\frac{EQI(\hat{h}_{CV})}{EQI(\hat{h}_{EQI})} \xrightarrow{qc} 1,$$

onde

$$\hat{h}_{EQI} = \operatorname{argmin}_{h>0} EQI(h).$$

(Hall, 1983; Stone, 1984)

O método de validação cruzada

Estimação funcional
O estimador do histograma
O estimador do núcleo
Definição
Propriedades locais
Propriedades globais
EQMI
Janela óptima
Escolha do núcleo
Redução do viés
Escolha prática da janela
Núcleos de fronteira
O caso multivariado
Bibliografia

Além disso, vale a convergência

$$n^{1/10} \left(\frac{\hat{h}_{CV}}{h_{EQMI}} - 1 \right) \xrightarrow{d} N(0, \sigma_{CV}^2),$$

onde $\sigma_{CV}^2 > 0$ depende de f e de K e h_{EQMI} é a janela óptima no sentido da minimização de EQMI, isto é,

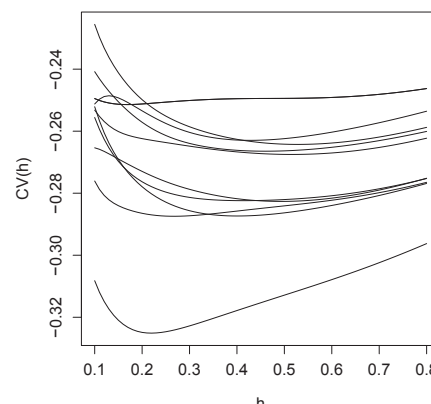
$$h_{EQMI} = \operatorname{argmin}_{h>0} \text{EQMI}(h)$$

(Hall e Marron, 1987)

O método de validação cruzada

Estimação funcional
O estimador do histograma
O estimador do núcleo
Definição
Propriedades locais
Propriedades globais
EQMI
Janela óptima
Escolha do núcleo
Redução do viés
Escolha prática da janela
Núcleos de fronteira
O caso multivariado
Bibliografia

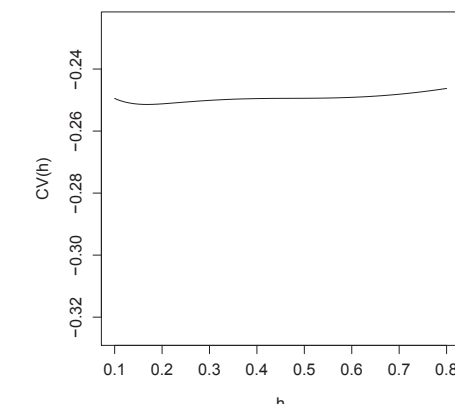
$$f = N(0, 1), K = N(0, 1)$$



O método de validação cruzada

Estimação funcional
O estimador do histograma
O estimador do núcleo
Definição
Propriedades locais
Propriedades globais
EQMI
Janela óptima
Escolha do núcleo
Redução do viés
Escolha prática da janela
Núcleos de fronteira
O caso multivariado
Bibliografia

$$f = N(0, 1), K = N(0, 1)$$



Métodos plug-in

Estimação funcional
O estimador do histograma
O estimador do núcleo
Definição
Propriedades locais
Propriedades globais
EQMI
Janela óptima
Escolha do núcleo
Redução do viés
Escolha prática da janela
Núcleos de fronteira
O caso multivariado
Bibliografia

- Os **métodos plug-in directos** partem da expressão para a janela óptima

$$h_{EQMIA} = c_K R(f'')^{-1/5} n^{-1/5}$$

onde a funcional desconhecida é substituída por estimador convergente da mesma.

- Funcionais de interesse:

$$\theta_r = R(f^{(r)}) = (-1)^r \int f^{(2r)}(x) f(x) dx = (-1)^r E(f^{(2r)}(X))$$

$$\hat{\theta}_r(g) = \frac{(-1)^r}{n^2} \sum_{i,j=1}^n L_g^{(2r)}(X_i - X_j)$$

g – nova janela; L – novo núcleo

Métodos plug-in

Estimação funcional
O estimador do histograma

O estimador do núcleo

Definição
Propriedades locais
Propriedades globais
EQMI

Janela óptima
Escolha do núcleo
Redução do viés
Escolha prática da ▷ janela

Núcleos de fronteira
O caso multivariado

Bibliografia

$$\hat{h}_{\text{PI}} = c_K \hat{\theta}_2(g)^{-1/5} n^{-1/5}$$

$$\hat{\theta}_2(g) = \frac{1}{n^2} \sum_{i,j=1}^n L_g^{(4)}(X_i - X_j)$$

$$g = ?$$

Métodos plug-in

Estimação funcional
O estimador do histograma

O estimador do núcleo

Definição
Propriedades locais
Propriedades globais
EQMI

Janela óptima
Escolha do núcleo
Redução do viés
Escolha prática da ▷ janela

Núcleos de fronteira
O caso multivariado

Bibliografia

$$\hat{h}_{\text{PI}} = c_K \hat{\theta}_2(g)^{-1/5} n^{-1/5}$$

$$\hat{\theta}_2(g) = \frac{1}{n^2} \sum_{i,j=1}^n L_g^{(4)}(X_i - X_j)$$

$$g_2 = \left(\frac{2L^{(4)}(0)}{m_2(L) \theta_3 n} \right)^{1/7}$$

XVIII Congresso da SPE, S. Pedro do Sul

29 de Setembro de 2010

Métodos plug-in

Estimação funcional
O estimador do histograma

O estimador do núcleo

Definição
Propriedades locais
Propriedades globais
EQMI

Janela óptima
Escolha do núcleo
Redução do viés
Escolha prática da ▷ janela

Núcleos de fronteira
O caso multivariado

Bibliografia

$$\hat{h}_{\text{PI}} = c_K \hat{\theta}_2(g)^{-1/5} n^{-1/5}$$

$$\hat{\theta}_2(g) = \frac{1}{n^2} \sum_{i,j=1}^n L_g^{(4)}(X_i - X_j)$$

$$g_2 = \left(\frac{2L^{(4)}(0)}{m_2(L) \theta_3 n} \right)^{1/7}$$

$$\hat{\theta}_3(g) = \frac{-1}{n^2} \sum_{i,j=1}^n L_g^{(6)}(X_i - X_j)$$

$$g_3 = \left(\frac{2L^{(6)}(0)}{m_2(L) \theta_4 n} \right)^{1/9}$$

(Sheather e Jones, 1991)

Métodos plug-in

Estimação funcional
O estimador do histograma

O estimador do núcleo

Definição
Propriedades locais
Propriedades globais
EQMI

Janela óptima
Escolha do núcleo
Redução do viés
Escolha prática da ▷ janela

Núcleos de fronteira
O caso multivariado

Bibliografia

$$\frac{\hat{h}_{\text{CV}}}{h_{\text{EQMI}}} - 1 = O_p(n^{-1/10})$$

$$\frac{\hat{h}_{\text{PI}}}{h_{\text{EQMI}}} - 1 = O_p(n^{-5/14})$$

Usando núcleos de ordem superior:

$$\frac{\hat{h}_{\text{PI}}}{h_{\text{EQMI}}} - 1 = O_p(n^{-2/5})$$

XVIII Congresso da SPE, S. Pedro do Sul

29 de Setembro de 2010

XVIII Congresso da SPE, S. Pedro do Sul

29 de Setembro de 2010

$$1/10 = 0.1 \rightsquigarrow 5/14 \approx 0.36 \rightsquigarrow 2/5 = 0.4 \rightsquigarrow 1/2 = 0.5$$

Métodos plug-in

Estimação funcional
O estimador do histograma

O estimador do núcleo

Definição

Propriedades locais

Propriedades globais

EQMI

Janela óptima

Escolha do núcleo

Redução do viés

Escolha prática da janela

Núcleos de fronteira

O caso multivariado

Bibliografia

$$h_{\text{EQMIA}} = c_K R(f'')^{-1/5} n^{-1/5}$$

$$h_{\text{EQMIA}} = c_K \hat{\theta}_2(g_{\text{EQMA}})^{-1/5} n^{-1/5}$$

$$h_{\text{EQMIA}} = c_K \hat{\theta}_2(\alpha(h_{\text{EQMIA}}))^{-1/5} n^{-1/5}$$

com

$$\alpha(h) = c_K^{-5/7} (2L^{(4)}(0)/m_2(L))^{1/7} (\theta_2/\theta_3)^{1/7} h^{5/7}$$

- Sheather e Jones (1991) propõem tomar a janela \hat{h}_{SJ} que satisfaça a equação

$$h = c_K \hat{\theta}_2(\hat{\alpha}(h))^{-1/5} n^{-1/5}$$

XVIII Congresso da SPE, S. Pedro do Sul

29 de Setembro de 2010

Aplicação a um conjunto de dados

Estimação funcional
O estimador do histograma

O estimador do núcleo

Definição

Propriedades locais

Propriedades globais

EQMI

Janela óptima

Escolha do núcleo

Redução do viés

Escolha prática da janela

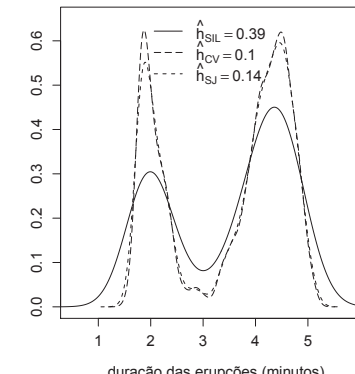
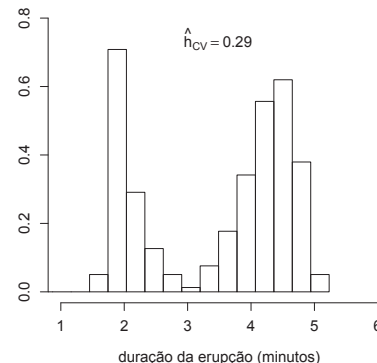
Núcleos de fronteira

O caso multivariado

Bibliografia

- Dados relativos a 272 erupções sucessivas do Old Faithful Geyser no Yellowstone National Park nos EUA.

$$\hat{h}_{\text{SIL}} = 0.39, \hat{h}_{\text{CV}} = 0.10, \hat{h}_{\text{SJ}} = 0.14$$



XVIII Congresso da SPE, S. Pedro do Sul

29 de Setembro de 2010

Aplicação a um conjunto de dados

Estimação funcional
O estimador do histograma

O estimador do núcleo

Definição

Propriedades locais

Propriedades globais

EQMI

Janela óptima

Escolha do núcleo

Redução do viés

Escolha prática da janela

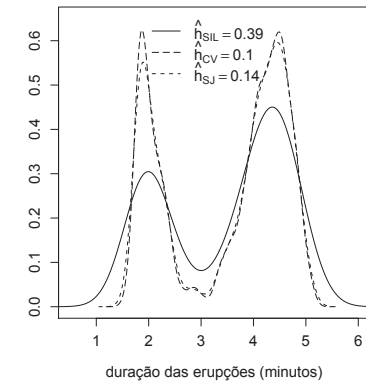
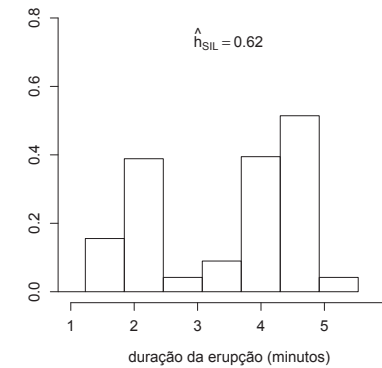
Núcleos de fronteira

O caso multivariado

Bibliografia

- Dados relativos a 272 erupções sucessivas do Old Faithful Geyser no Yellowstone National Park nos EUA.

$$\hat{h}_{\text{SIL}} = 0.39, \hat{h}_{\text{CV}} = 0.10, \hat{h}_{\text{SJ}} = 0.14$$



XVIII Congresso da SPE, S. Pedro do Sul

29 de Setembro de 2010

Aplicação a um conjunto de dados

Estimação funcional
O estimador do histograma

O estimador do núcleo

Definição

Propriedades locais

Propriedades globais

EQMI

Janela óptima

Escolha do núcleo

Redução do viés

Escolha prática da janela

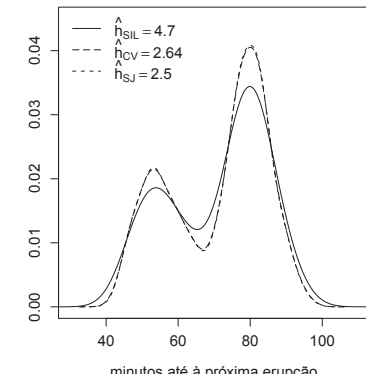
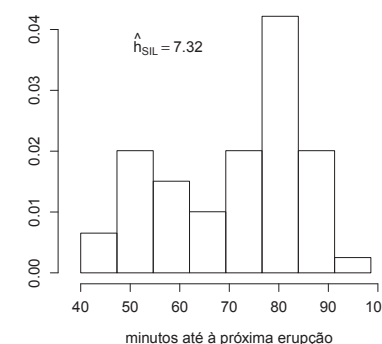
Núcleos de fronteira

O caso multivariado

Bibliografia

- Dados relativos a 272 erupções sucessivas do Old Faithful Geyser no Yellowstone National Park nos EUA.

$$\hat{h}_{\text{SIL}} = 4.70, \hat{h}_{\text{CV}} = 2.64, \hat{h}_{\text{SJ}} = 2.50$$



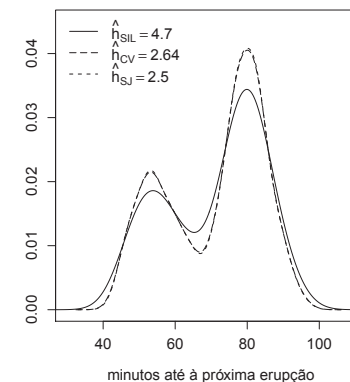
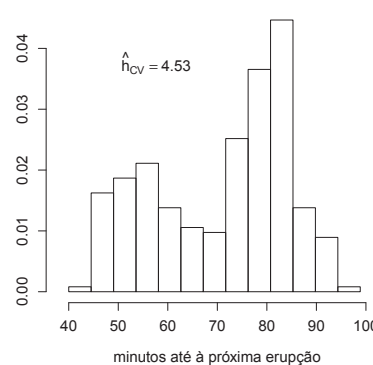
XVIII Congresso da SPE, S. Pedro do Sul

29 de Setembro de 2010

Aplicação a um conjunto de dados

- Dados relativos a 272 erupções sucessivas do Old Faithful Geyser no Yellowstone National Park nos EUA.

- $\hat{h}_{SIL} = 4.70, \hat{h}_{CV} = 2.64, \hat{h}_{SJ} = 2.50$

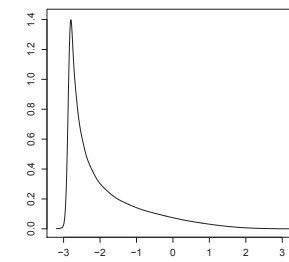
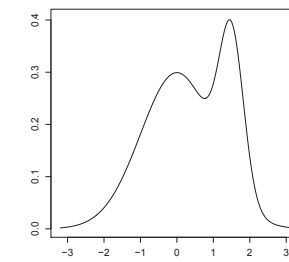
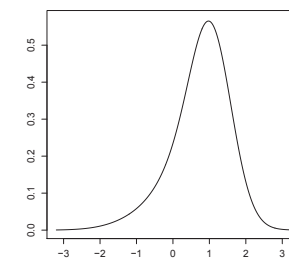
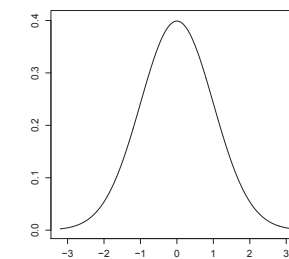


Estimação funcional
O estimador do histograma
O estimador do núcleo
Definição
Propriedades locais
Propriedades globais
EQMI
Janela óptima
Escolha do núcleo
Redução do viés
Escolha prática da janela
Núcleos de fronteira
O caso multivariado
Bibliografia

XVIII Congresso da SPE, S. Pedro do Sul

29 de Setembro de 2010

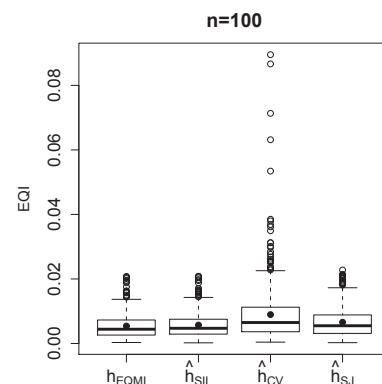
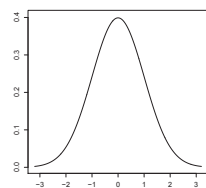
Resultados de simulação



XVIII Congresso da SPE, S. Pedro do Sul

29 de Setembro de 2010

Resultados de simulação

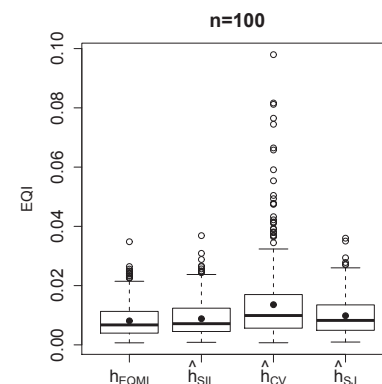
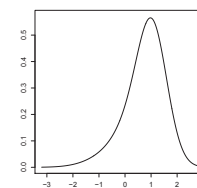


Estimação funcional
O estimador do histograma
O estimador do núcleo
Definição
Propriedades locais
Propriedades globais
EQMI
Janela óptima
Escolha do núcleo
Redução do viés
Escolha prática da janela
Núcleos de fronteira
O caso multivariado
Bibliografia

XVIII Congresso da SPE, S. Pedro do Sul

29 de Setembro de 2010

Resultados de simulação



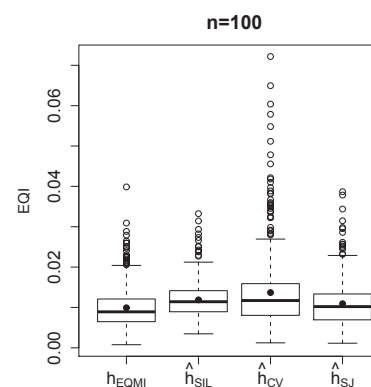
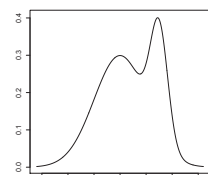
Estimação funcional
O estimador do histograma
O estimador do núcleo
Definição
Propriedades locais
Propriedades globais
EQMI
Janela óptima
Escolha do núcleo
Redução do viés
Escolha prática da janela
Núcleos de fronteira
O caso multivariado
Bibliografia

XVIII Congresso da SPE, S. Pedro do Sul

29 de Setembro de 2010

Resultados de simulação

Estimação funcional
 O estimador do histograma
 O estimador do núcleo
 Definição
 Propriedades locais
 Propriedades globais
 EQMI
 Janela óptima
 Escolha do núcleo
 Redução do viés
 Escolha prática da janela
 Núcleos de fronteira
 O caso multivariado
 Bibliografia

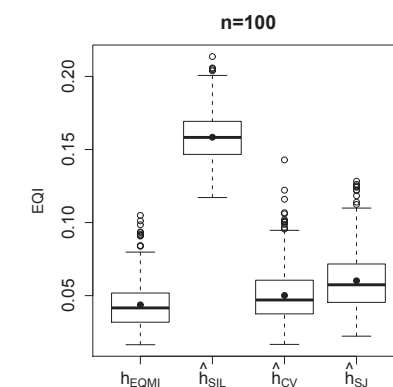
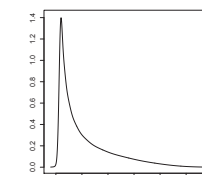


XVIII Congresso da SPE, S. Pedro do Sul

29 de Setembro de 2010

Resultados de simulação

Estimação funcional
 O estimador do histograma
 O estimador do núcleo
 Definição
 Propriedades locais
 Propriedades globais
 EQMI
 Janela óptima
 Escolha do núcleo
 Redução do viés
 Escolha prática da janela
 Núcleos de fronteira
 O caso multivariado
 Bibliografia

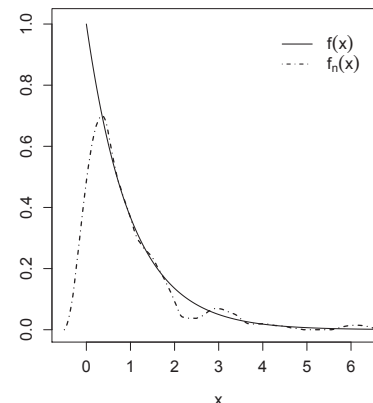


XVIII Congresso da SPE, S. Pedro do Sul

29 de Setembro de 2010

Estimação em pontos fronteiros

Estimação funcional
 O estimador do histograma
 O estimador do núcleo
 Definição
 Propriedades locais
 Propriedades globais
 EQMI
 Janela óptima
 Escolha do núcleo
 Redução do viés
 Escolha prática da janela
 Núcleos de fronteira
 O caso multivariado
 Bibliografia



Estimativa baseada numa amostra de tamanho 200 da distribuição $E(1)$ com $h = 0.5$ e núcleo de Epanechnikov.

XVIII Congresso da SPE, S. Pedro do Sul

29 de Setembro de 2010

Estimação em pontos fronteiros

Estimação funcional
 O estimador do histograma
 O estimador do núcleo
 Definição
 Propriedades locais
 Propriedades globais
 EQMI
 Janela óptima
 Escolha do núcleo
 Redução do viés
 Escolha prática da janela
 Núcleos de fronteira
 O caso multivariado
 Bibliografia

$$Ef_n(x) = m_{0,\alpha}(K)f(x) - h m_{1,\alpha}(K)f'(x) + \frac{h^2}{2} m_{2,\alpha}(K)f''(x) + o(h^2),$$

$$m_{\ell,\alpha}(K) = \int_{-1}^{\alpha} z^{\ell} K(z) dz$$

XVIII Congresso da SPE, S. Pedro do Sul

29 de Setembro de 2010

Estimação em pontos fronteiros

- Análise do viés em pontos fronteiros:

$$x = a + \alpha h, \alpha \in]0, 1[$$

$$\begin{aligned} E f_n(x) &= m_{0,\alpha}(K)f(x) - h m_{1,\alpha}(K)f'(x) \\ &\quad + \frac{h^2}{2} m_{2,\alpha}(K)f''(x) + o(h^2), \end{aligned}$$

$$m_{\ell,\alpha}(K) = \int_{-1}^{\alpha} z^\ell K(z) dz$$

$$K(u) \longrightarrow K(u; \alpha)$$

[Estimação funcional](#)
[O estimador do histograma](#)
[O estimador do núcleo](#)
[Definição](#)
[Propriedades locais](#)
[Propriedades globais](#)
[EQMI](#)
[Janela óptima](#)
[Escolha do núcleo](#)
[Redução do viés](#)
[Escolha prática da janela](#)
[Núcleos de fronteira](#)
[O caso multivariado](#)
[Bibliografia](#)

XVIII Congresso da SPE, S. Pedro do Sul

29 de Setembro de 2010

Estimador com núcleos de fronteira

$$\tilde{f}_n(x) = \frac{1}{nh} \sum_{i=1}^n K_{x,h} \left(\frac{x - X_i}{h} \right)$$

$$K_{x,h}(u) = \begin{cases} K(u; (x-a)/h), & a \leq x < a+h \\ K(u), & x \geq a+h, \end{cases}$$

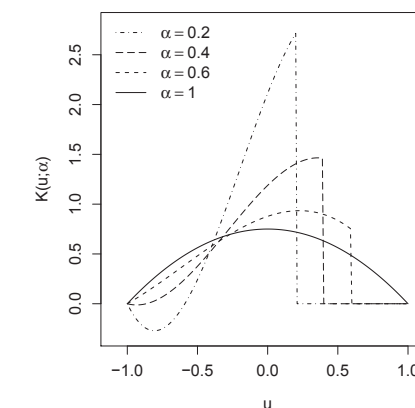
[Estimação funcional](#)
[O estimador do histograma](#)
[O estimador do núcleo](#)
[Definição](#)
[Propriedades locais](#)
[Propriedades globais](#)
[EQMI](#)
[Janela óptima](#)
[Escolha do núcleo](#)
[Redução do viés](#)
[Escolha prática da janela](#)
[Núcleos de fronteira](#)
[O caso multivariado](#)
[Bibliografia](#)

XVIII Congresso da SPE, S. Pedro do Sul

29 de Setembro de 2010

Núcleos de fronteira

[Estimação funcional](#)
[O estimador do histograma](#)
[O estimador do núcleo](#)
[Definição](#)
[Propriedades locais](#)
[Propriedades globais](#)
[EQMI](#)
[Janela óptima](#)
[Escolha do núcleo](#)
[Redução do viés](#)
[Escolha prática da janela](#)
[Núcleos de fronteira](#)
[O caso multivariado](#)
[Bibliografia](#)



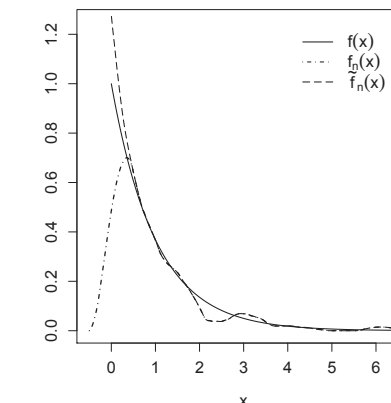
Núcleos de fronteira baseados no núcleo de Epanechnikov.
(Gasser e Muller, 1979; Rice, 1984)

XVIII Congresso da SPE, S. Pedro do Sul

29 de Setembro de 2010

Estimador com núcleos de fronteira

$$\tilde{f}_n(x) = \frac{1}{nh} \sum_{i=1}^n K_{x,h} \left(\frac{x - X_i}{h} \right)$$



[Estimação funcional](#)
[O estimador do histograma](#)
[O estimador do núcleo](#)
[Definição](#)
[Propriedades locais](#)
[Propriedades globais](#)
[EQMI](#)
[Janela óptima](#)
[Escolha do núcleo](#)
[Redução do viés](#)
[Escolha prática da janela](#)
[Núcleos de fronteira](#)
[O caso multivariado](#)
[Bibliografia](#)

XVIII Congresso da SPE, S. Pedro do Sul

29 de Setembro de 2010

Estimador multivariado do núcleo

- Cacoullos (1966):

$$f_n(x) = \frac{1}{nh^d} \sum_{i=1}^n K\left(\frac{x - X_i}{h}\right)$$

- Epanechnikov (1969):

$$f_n(x) = \frac{1}{nh_1 \dots h_d} \sum_{i=1}^n K\left(\frac{x_1 - X_{i1}}{h_1}, \dots, \frac{x_d - X_{id}}{h_d}\right)$$

- Deheuvels (1977):

$$f_n(x) = \frac{1}{n} \sum_{i=1}^n K_H(x - X_i)$$

$$K_H(x) = |H|^{-1/2} K(H^{-1/2}x)$$

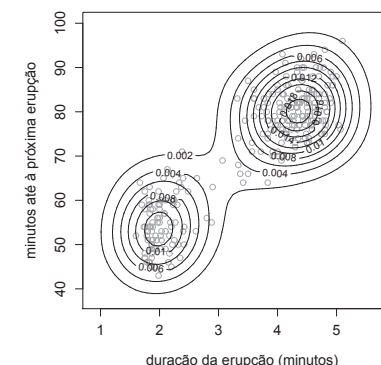
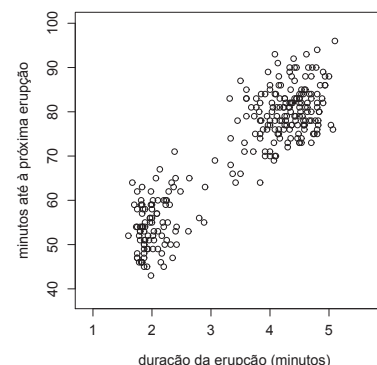
Bibliografia

XVIII Congresso da SPE, S. Pedro do Sul

29 de Setembro de 2010

Estimador multivariado do núcleo

Estimação funcional
O estimador do histograma
O estimador do núcleo
Definição
Propriedades locais
Propriedades globais
EQMI
Janela óptima
Escolha do núcleo
Redução do viés
Escolha prática da janela
Núcleos de fronteira
O caso
▷ multivariado
Bibliografia



XVIII Congresso da SPE, S. Pedro do Sul

29 de Setembro de 2010

Estimador multivariado do núcleo

- No caso $H = \text{diag}(h_1^2, \dots, h_d^2)$

$$\text{EQMIA} = \frac{R(K)^d}{nh_1 \dots h_d} + \frac{1}{4} m_2(K) \sum_{i,j=1}^d h_i^2 h_j^2 \int f_{ii}(x) f_{jj}(x) dx$$

- Para

$$h_k = c_k n^{-1/(d+4)}$$

obtemos

$$\text{EQMIA} = O(n^{-4/(d+4)}) \text{ Maldição da dimensão}$$

- Escolha da janela tomando como distribuição de referência a distribuição normal $N(0, \Sigma)$, com $\Sigma = \text{diag}(\sigma_1^2, \dots, \sigma_d^2)$:

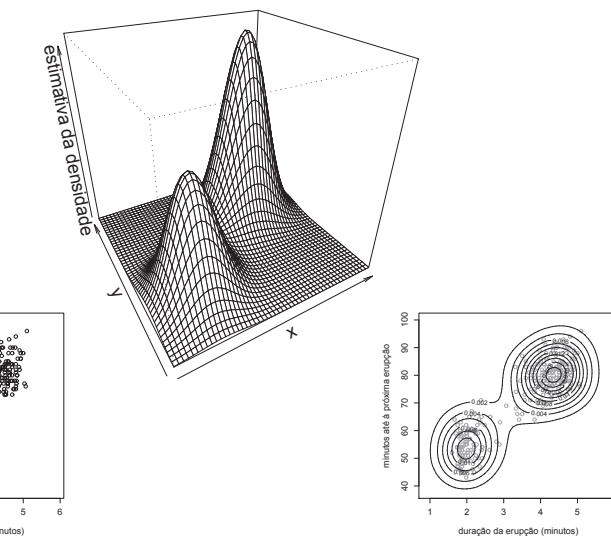
$$\hat{h}_k = \left(\frac{8}{d+5} \right)^{1/(d+4)} \hat{\sigma}_k n^{-1/(d+4)}$$

XVIII Congresso da SPE, S. Pedro do Sul

29 de Setembro de 2010

Estimador multivariado do núcleo

Estimação funcional
O estimador do histograma
O estimador do núcleo
Definição
Propriedades locais
Propriedades globais
EQMI
Janela óptima
Escolha do núcleo
Redução do viés
Escolha prática da janela
Núcleos de fronteira
O caso
▷ multivariado
Bibliografia



XVIII Congresso da SPE, S. Pedro do Sul

29 de Setembro de 2010

Referências bibliográficas

[Estimação funcional](#)
[O estimador do histograma](#)
[O estimador do núcleo](#)
▷ [Bibliografia](#)

Principal bibliografia sobre estimação funcional

[Estimação funcional](#)
[O estimador do histograma](#)
[O estimador do núcleo](#)
[Bibliografia](#)

- Prakasa Rao (1983)
Nonparametric functional estimation. Academic Press.
- Devroye e Györfi (1985)
Nonparametric density estimation: the L_1 view. Wiley.
- Bosq e Lecoutre (1987)
Théorie de l'estimation fonctionnelle. Economica.
- Silverman (1986)
Density estimation for statistics and data analysis. Chapman & Hall.
- Scott (1992)
Multivariate density estimation. Wiley.
- Wand e Jones (1995)
Kernel smoothing. Chapman & Hall.

XVIII Congresso da SPE, S. Pedro do Sul

29 de Setembro de 2010

XVIII Congresso da SPE, S. Pedro do Sul

29 de Setembro de 2010

Principal bibliografia sobre estimação funcional

[Estimação funcional](#)
[O estimador do histograma](#)
[O estimador do núcleo](#)
[Bibliografia](#)

- Thompson e Tapia (1990)
Nonparametric function estimation, modeling, and simulation. SIAM.
- Härdle (1991)
Smoothing techniques: with implementation in S. Springer.
- Simonoff (1996)
Smoothing methods in statistics. Springer.
- Bowman e Azzalini (1997)
Applied smoothing techniques for data analysis. Oxford University Press.
- Härdle, Müller, Sperlich e Werwatz (2004)
Nonparametric and semiparametric models. Springer.
- Tsybakov (2004)
Introduction à l'estimation non-paramétrique. Springer.
- Wasserman (2006)
All of nonparametric statistics. Springer.

XVIII Congresso da SPE, S. Pedro do Sul

29 de Setembro de 2010